

2018

Weekly / Semanal **Influenza Report EW 47/ Reporte de Influenza SE 47**

Regional Update: Influenza & Other Respiratory Viruses /
Actualización Regional: Influenza y Otros virus respiratorios

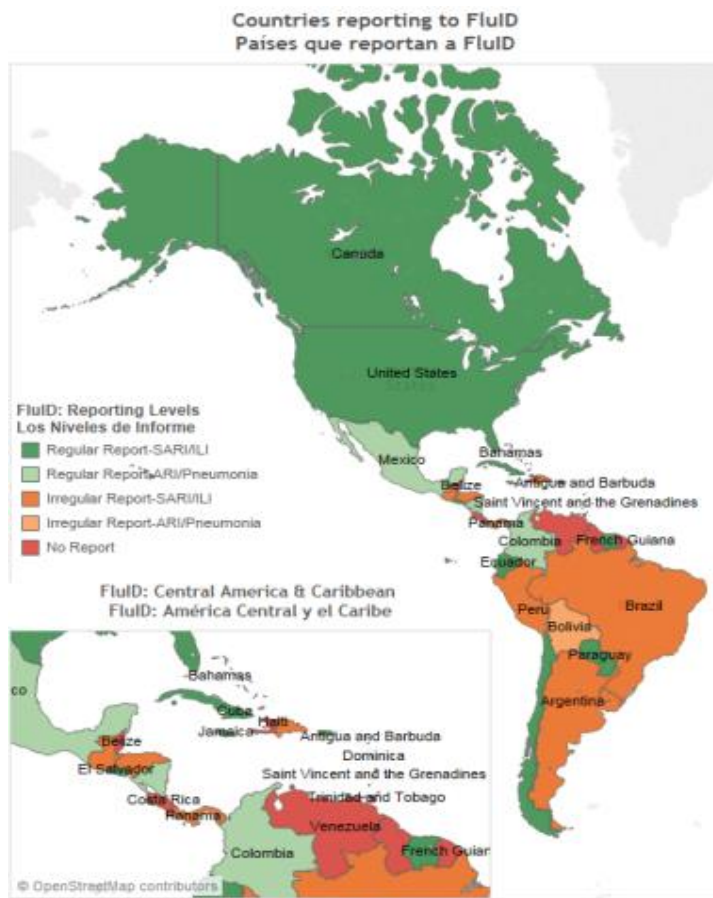


**December 4, 2018
4 de Diciembre de 2018**

*Data as of November 30, 2018/
Datos hasta 30 de noviembre de 2018*

*Prepared by PHE/IHM/Influenza Team/
Realizado por PHE/IHM/Equipo de Influenza*

FluID



FluNet



Map Production /Producción del mapa: PAHO/WHO, OPS/OMS.

Data Source / Fuente de datos:

Ministries of Health and National Influenza Centers of Member States Reports to the informatics global platforms [FluNet](#) and / Informe de los Ministerios de Salud y los Centros Nacionales de Influenza de los Estados Miembros a las plataformas informáticas globales de [FluNet](#) y [FluID](#)

[Go to Index/](#)
[Ir al Índice](#)

WEEKLY REPORT DATA SOURCES

The information presented in this update is based on data provided by Ministries of Health and National Influenza Centers of Member States to the informatics global platforms
http://www.who.int/influenza/gisrs_laboratory/flunet/en/
and http://www.who.int/influenza/surveillance_monitoring/fluid/en/ ;
and reports/weekly bulletins that Ministries of Health published on its website or shared with PAHO/WHO.

La información presentada en esta actualización se obtiene a partir de los datos notificados por los Ministerios de Salud y los Centros Nacionales de Influenza de los Estados Miembros a las plataformas informáticas globales de la OPS/OMS: [FluNet](#) y [Fluid](#); y de los informes/boletines semanales que los Ministerios de Salud publican en sus páginas web o comparten con OPS/OMS.

PAHO INFLUENZA LINKS

PAHO interactive data / Datos interactivos de la OPS:

PAHO FluNet: http://ais.paho.org/php/viz/ed_flu.asp

PAHO Fluid: <http://ais.paho.org/php/viz/flumart2015.as>

Influenza Regional Reports / Informes regionales de influenza:

In English: <http://www.paho.org/influenzareport>

En español: www.paho.org/reportesinfluenza

Severe acute respiratory infections network - SARinet
Red de las infecciones respiratorias agudas graves - SARinet:

<http://www.sarinet.org>

[Go to Index/](#)
[Ir al Índice](#)

REPORT INDEX

ÍNDICE DE LA ACTUALIZACIÓN

Section	Content	Page
1	<u>Weekly Summary / Resumen Semanal</u>	5
2	<u>Overall Influenza and RSV circulation / Circulación general de los virus influenza y VSR</u>	6
3	<u>Weekly and Cumulative numbers / Números semanales y acumulados</u>	7
4	<u>Epidemiological and Virologic update by country / Actualización epidemiológica y virológica por país</u>	8
5	<u>Acronyms / Acrónimos</u>	31

WEEKLY SUMMARY (ENGLISH)

North America: Overall, influenza activity began to increase in [Canada](#) and the [United States](#), with influenza A(H1N1)pdm09 predominating. In [México](#), increased influenza-associated SARI activity was reported with influenza A(H1N1)pdm09 and other respiratory virus co-circulating.

Caribbean: Influenza virus activity increased, and higher RSV activity was reported throughout most of the sub-region. In [Cuba](#) and [Haiti](#), influenza A(H1N1)pdm09 circulation was associated with increased SARI activity. Bronchiolitis consultations remained above seasonal levels in [Guadeloupe](#) and [Martinique](#).

Central America: Epidemiological indicators remained at moderate levels and influenza circulation was reported to decrease throughout the sub-region with influenza A(H1N1)pdm09 predominating. In [Panama](#) and [Guatemala](#) RSV circulation continued elevated. In [Costa Rica](#), [El Salvador](#) and [Nicaragua](#), increased influenza and RSV circulation was associated with pneumonia and SARI activity was reported.

Andean Region: Overall influenza and other respiratory virus activity remained stable in the sub-region. In [Ecuador](#), influenza A(H3N2) and B co-circulated with overall low SARI activity. In [Perú](#), influenza A(H1N1)pdm09 activity decreased with lower SARI and ILI activity.

Brazil and Southern Cone: Influenza activity was at low levels throughout the sub-region after a later peak in [Paraguay](#), [Argentina](#) and [Uruguay](#). In [Brazil](#) and [Chile](#), influenza-associated SARI cases decreased associated with influenza B detections. In [Paraguay](#), SARI activity decreased related to influenza A(H3N2).

Global: In the temperate zone of the northern hemisphere influenza activity remained at inter-seasonal levels. Increased influenza detections were reported in some countries of Southern and South-East Asia. In the temperate zones of the southern hemisphere, influenza activity returned to nearly inter-seasonal levels. Worldwide, seasonal influenza subtype A viruses accounted for the majority of detections.

RESUMEN SEMANAL (ESPAÑOL)

América del Norte: En general, la actividad de influenza comenzó a aumentar en [Canadá](#) y los [Estados Unidos](#), con predominio de A(H1N1)pdm09. En [México](#), se reportó un aumento en la actividad de influenza e IRAG con co-circulación de influenza A(H1N1)pdm09 y otros virus respiratorios.

Caribe: La actividad de influenza aumentó y se reportó mayor actividad de VSR en la mayoría de la subregión. En [Cuba](#) y [Haití](#), la circulación de influenza A(H1N1)pdm09 se asoció con mayor actividad de IRAG. Las consultas por broquiolitis permanecieron sobre los niveles estacionales en [Guadeloupe](#) y [Martinique](#).

América Central: Los indicadores epidemiológicos permanecieron en niveles moderados y la actividad de influenza se reportó en disminución en la sub-región con predominio de influenza A(H1N1)pdm09. En [Panamá](#) y [Guatemala](#) la circulación de VSR continuó elevada. En [Costa Rica](#), [El Salvador](#) y [Nicaragua](#), se reportó circulación aumentada de influenza A(H1N1)pdm09 y VSR asociada a actividad de neumonía e IRAG.

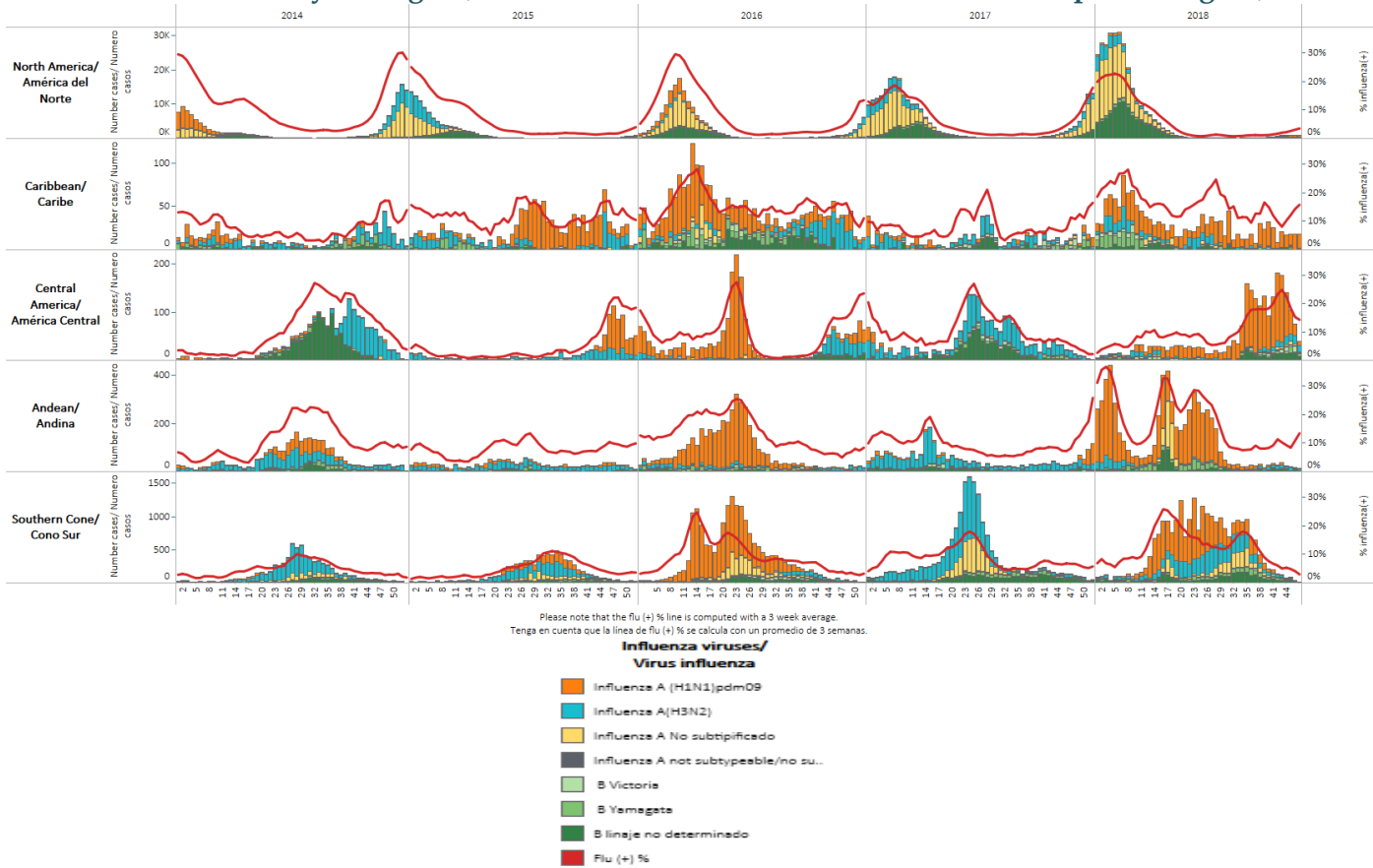
Sub-región Andina: La actividad general de influenza y otros virus respiratorios permaneció estable en la sub-región. En [Ecuador](#), co-circularon influenza A(H3N2) y B con baja actividad de IRAG en general. En [Perú](#), la actividad de influenza A(H1N1)pdm09 disminuyó con baja actividad de IRAG y ETI.

Brasil y Cono Sur: Los niveles de influenza se ubicaron a niveles bajos en toda la sub-región luego de un pico tardío en [Paraguay](#), [Argentina](#) y [Uruguay](#). En [Brasil](#) y [Chile](#), los casos de IRAG por influenza disminuyeron asociados a detecciones influenza B. En [Paraguay](#), la actividad de IRAG disminuyó asociada a influenza A(H3N2).

Global: En la zona templada del hemisferio norte, la actividad de influenza se mantuvo en niveles interestacionales. En algunos países de Asia meridional y sudoriental se notificó un aumento de las detecciones de influenza. En las zonas templadas del hemisferio sur, la actividad de influenza regresó a niveles casi inter-estacionales. En todo el mundo, los virus de subtipo A de influenza estacional representaron la mayoría de las detecciones.

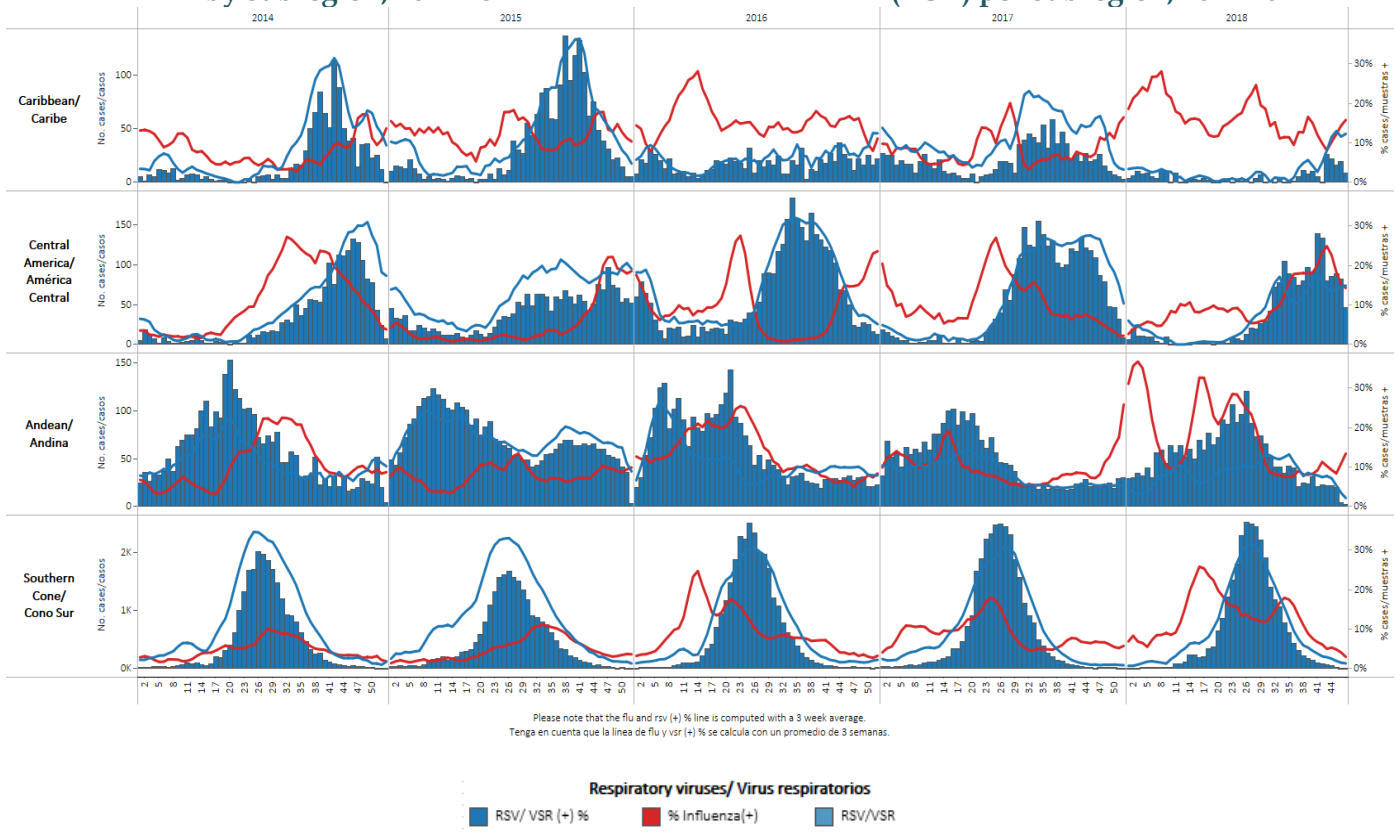
Influenza circulation by subregion, 2014-18

Circulación de virus influenza por subregión, 2014-18



Respiratory syncytial virus (RSV) circulation by subregion, 2014-18

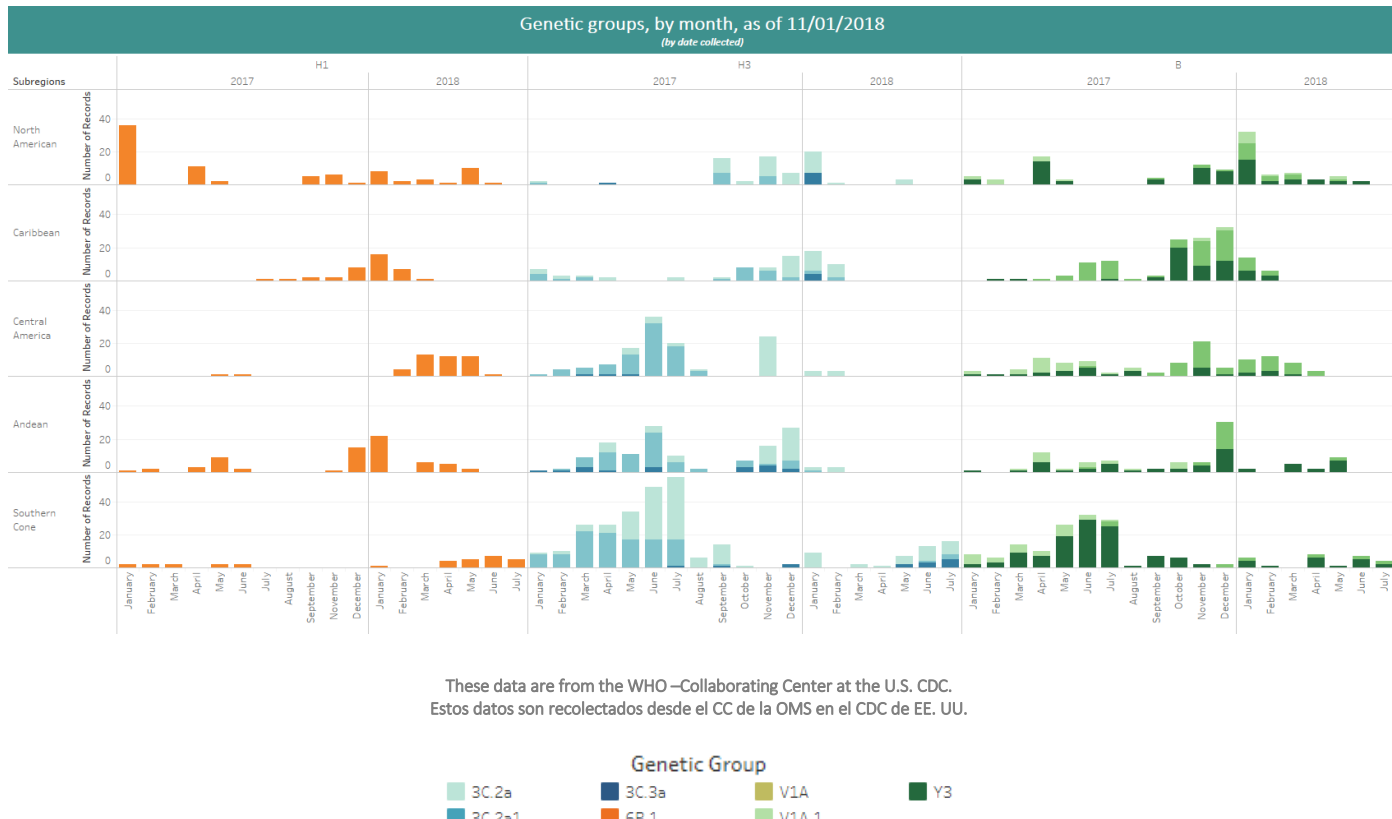
Circulación de virus sincicial respiratorio (VSR) por subregión, 2014-18



*To view more lab data, view [here](#). / Para ver mas datos lab, vea [aquí](#).

Genetic Characterization of Influenza Virus by Subregion, 2017-18

Caracterización Genética de los Virus Influenza por Subregión, 2017-18



Weekly and cumulative numbers of influenza and other respiratory virus, by country and EW, 2018¹ Números semanales y acumulados de influenza y otros virus respiratorios, por país y SE, 2018²

EW 47, 2018 / SE 47, 2018

		N samples/ muestras	Influenza A(H3N2)	Influenza A(H1N1) pdm09	Influenza A non- subtyped* /..	Influenza A not sub- typed/..	B Victoria	B Yamagata	B linaje no determinado	Influenza (+) %	Adenovir.	Parainflue...	RSV/VSR	% RSV/VSR (+)	Bocavirus	Coronavi...	Metapne...	Rhinovirus	% All Positive Samples (+)
North America/ América del Norte	Canada	26,633	17	480	445				8	3.6%	64	76	171	1%		36	20	256	5.9%
	Mexico	404	1	58	0	3	1	3	3	17.1%	0	0	1	0%	0	0	1	0	17.6%
Caribbean/ Caribe	Cuba	49	0	13	0	0	1	1	0	30.6%	0	1	4	8%	0	0	0	0	40.8%
	Cuba IRAG	31	0	3	0	0	0	0	0	9.7%	0	1	4	13%	0	0	0	0	25.8%
	Dominican Republic	1		0						0.0%									0.0%
	Jamaica	29	0	0	0	0	0	0	0	0.0%	0	0	1	3%					3.4%
	Suriname	4	0	0	0	0	0	0	0	0.0%	0	0	0	0%	0	0	0	0	0.0%
Central America/ América Central	Costa Rica	49	7	2	1	0			1	22.4%	3	0	15	31%					59.2%
	El Salvador	39	0	1	1	0	1	1	1	12.8%	0	0	0	0%					12.8%
	El Salvador*	43	0	3	0	0	2	3	0	23.3%	0	0	0	0%					23.3%
	Guatemala	5	1	0						20.0%			2	40%					60.0%
	Honduras	14	0	0	0	0	0	0	0	0.0%	0	0	1	7%					7.1%
	Nicaragua	99	2	0					7	9.1%		1	15	15%					25.3%
	Panama	47	5	1	0	0	0	0	0	12.6%	2	1	13	28%			3	13	80.9%
Andean/ Andina	Bolivia	48	2	0	0	0	0	0	0	6.3%	0	0	0	0%	0	0	0	0	6.3%
	Ecuador	7	1	0	0	0	0	0	0	14.3%	0	1	1	14%	0	0	0	0	42.9%
	Peru	52	1	2	2	2	0	1	0	19.2%	0	1	0	0%	0	0	1	0	23.1%
Brazil & Southern Cone/ Brasil y Cono Sur	Brazil	1		0						0.0%									0.0%
	Chile	656	1	1					4	6	1.8%	24	18	7	1%			24	13.0%
	Chile_IRAG	31	0	3	0	0	0	0	0	9.7%	0	1	4	13%	0	0	0	0	25.8%
	Paraguay	47	0	0	0	0	0	0	0	0.0%	0	0	0	0%	0	0	0	0	0.0%
	Uruguay	13	0	0	0	0	0	0	0	0.0%	0	0	0	0%	0	0	0	0	0.0%
	Uruguay IRAG	10		0						0.0%									0.0%
	Grand Total	28,312	36	568	450	5	5	13	26	3.9%	93	101	239	1%	0	36	49	269	6.7%

These are the raw numbers provided in the country's FluNet update (Not the smoothed averages)
Estos son los números crudos proporcionados en la actualización FluNet del país (no los promedios suavizados)

*Please note blank cells indicate N/A.

*Por favor notar que las celdas en blanco indican N/A.

* NIC laboratory data only / datos de laboratorio solo del NIC

EW 46, 2018 / SE 46, 2018

*Note: These countries reported in EW 47, 2018, but have provided data up to EW 46.

*Nota: Estos países reportaron en la EW 47, 2018, pero han enviado los datos hasta la EW 46.

		N samples/ muestras	Influenza A(H3N2)	Influenza A H1N1 pdm09	Influenza A No subtipificado	Total Influenza B	Influenza B (%)	Influenza (+)	Influenza (+)	Adenovirus	RSV/VSR	% RSV/VSR (+)	Bocavirus*	Coronavi...	Metapne...	Rhinovirus*	Parainflue...	% All Positive Samples (+)
Caribbean/ Caribe	Aruba	4			1		0	25.0%		3	75%		0	0	0	0	0	100.0%
	Barbados	1					0	0.0%					0	0	0	0	0	0.0%
	Cuba	28	0	4	0	0	14.3%	1	4	14%	0	0	0	0	0	1	35.7%	
	Cuba IRAG	23	0	3	0	0	13.0%	1	4	17%	0	0	0	0	0	0	34.8%	
	Trinidad and Tobago	4		1			0	25.0%					0	0	0	1	0	50.0%
	Grand Total	60	0	9	0	0	15.0%	2	11	18%	0	0	0	0	1	1	40.0%	

EW 45, 2018 / SE 45, 2018

*Note: These countries reported in EW 47, 2018, but have provided data up to EW 45.

*Nota: Estos países reportaron en la SE 47, 2018, pero han enviado los datos hasta la SE 45.

		N samples/ muestras	Influenza A(H3N2)	Influenza A H1N1 pdm09	Influenza A No subtipificado	Total Influenza B	Influenza B (%)	Influenza (+)	Influenza (+)	Adenovirus	RSV/VSR	% RSV/VSR (+)	Bocavirus*	Coronavi...	Metapne...	Rhinovirus*	Parainflue...	% All Positive Samples (+)
Caribbean/ Caribe	Haiti	10	0	0	0	0	0.0%	0	0	0	0%	0	0	0	0	0	0.0%	
Brazil & Southern C..	Argentina	263	0	3	10	6	7.2%	3	2	1%	0	0	0	5	0	19	18.3%	
	Grand Total	273	0	3	10	6	7.0%	3	2	1%	0	0	5	0	19	17.6%		

EW 44-47, 2018 / SE 44-47, 2018

		N samples/ muestras	Influenza (H3N2)*	Influenza A(H1N1) pdm09*	Influenza A non- subtyped*	Influenza B	Influenza B Yamagata	Influenza B linaje determinado	Influenza (+) %	Adenovir.	Parainflue...	RSV/VSR*	% RSV/VSR (+)	Bocavirus*	Coronavi...	Metapne...	Rhinovirus*	Parainflue...	% All Positive Samples (+)
North America/ América del Norte	Canada	99,896	58	1,393	1,203	0	0	38	2.7%	251	330	444	0.4%	0	98	61	1,150	5.0%	
	Mexico	2,285	8	323	0	8	27	11	17.9%	3	3	7	0.3%	0	1	15	17	19.9%	
	USA	37,493	19	111	548	4	9	132	2.2%	0	0	0	0	0	0	0	0	2.2%	
Caribbean/ Caribe	Aruba	10	0	2	0	0	0	0	20.0%	0	0	8	80.0%	0	0	0	0	100.0%	
	Barbados	27	0	0	0	0	0	0	0.0%	0	0	1	3.7%	0	0	0	0	3.7%	
	Belize	2	0	0	0	0	0	0	0.0%	0	0	1	50.0%	0	0	0	0	50.0%	
	Cuba	131	0	24	0	2	1	2	22.1%	3	3	18	13.7%	0	0	0	0	40.5%	
	Cuba IRAG	92	0	10	0	1	0	1	13.0%	1	2	17	18.5%	0	0	0	0	34.8%	
	Dominican Republic	53	0	14	0	0	3	0	32.1%	0	1	7	13.2%	0	0	0	0	47.2%	
	French Guiana	30	0	0	0	0	0	0	0.0%	0	0	0	0	0	0	0	0	0.0%	
	Haiti	33	0	0	0	0	0	0	0.0%	0	0	0	0.0%	0	0	0	0	0.0%	
	Jamaica	96	0	0	0	0	0	0	0.0%	0	0	4	4.2%	0	0	0	0	4.2%	
	Suriname	22	1	0	0	0	0	0	4.5%	1	0	0	0.0%	0	0	0	0	9.1%	
	Trinidad and Tobago	16	0	4	0	0	0	0	25.0%	0	1	0	0	0	0	0	0	37.5%	
Central America/ América Central	Costa Rica	202	16	18	1	0	7	20.8%	13	1	53	26.2%	0	0	0	0	0	54.0%	
	El Salvador	169	0	17	5	12	10	1	26.6%	0	1	4	2.4%	0	0	0	0	29.6%	
	El Salvador*	182	0	18	3	15	12	0	34.6%	0	2	4	2.2%	0	0	0	0	37.9%	
	Guatemala	51	2	0	0	0	0	0	3.9%	0	2	19	37.3%	0	0	5	0	54.9%	
	Honduras	146	1	5	0	5	0	1	8.2%	1	0	20	13.7%	0	0	0	0	22.6%	
	Nicaragua	1,002	0	110	8	0	44	16.2%	0	2	107	10.7%	0	0	0	1	0	27.1%	
	Panama	356	41	7	0	0	2	0	14.0%	14	6	95	26.7%	0	0	0	24	61	70.2%
Andean/ Andina	Bolivia	156	7	2	4	0	0	0	9.0%	0	3	10	6.4%	0	0	0	0	17.3%	
	Colombia	247	7	1	0	0	7	6	1.1%	8	6	24	9.7%	6	6	3	7	30.4%	
	Ecuador	135	7	0	0	0	4	8.1%	0	9	7	5.2%	0	0	0	0	20.0%		
	Peru	183	3	3	2	0	6	0	9.8%	0	3	0	0.0%	0	0	3	0	13.1%	
Brazil & Southern Cone/ Brasil y Cono Sur	Argentina	959	0	9	13	1	1	20	4.6%	26	79	27	2.8%	0	0	16	0	20.0%	
	Brazil	470	5	1	0	18	2	46	15.3%	16	3	7	1.5%	0	0	10	0	23.0%	
	Chile	2,633	8																

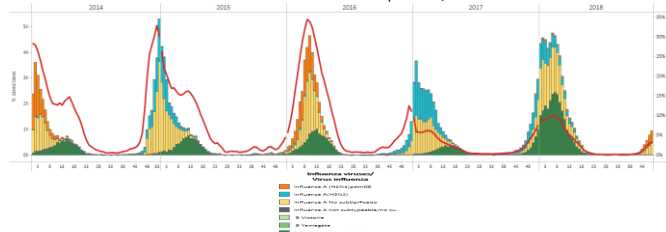
North America / América del Norte

Canada / Canadá

- In EW 47, the percent of ILI visits at the national level was slightly above the 5-year average for the same period (Graph 2). During EW 47, influenza activity increased slightly compared to the previous week: one region in Quebec reported widespread activity; four regions in Alta, Ontario, and NB reported localized ILI activity, and most of the provinces and territories reported sporadic to no ILI activity (Graph 3). During EW 47, influenza detections increased (Graph 1) and influenza A(H1N1)pdm09 predominated among the influenza detections. RSV positivity remained at low levels in recent weeks, while adenovirus and parainfluenza predominated (Graph 4). From EW 41 to 47, the pediatric hospitalizations increased above the average for 2010-2018 and peaked 4-6 weeks earlier than in recent seasons (Graph 5). A total of 145 pediatric hospitalizations were reported , with all but two cases associated with influenza A and mainly among the children under 9 years-of-age. No deaths were registered during the 2018-19 season. / En la SE 47, el porcentaje de consultas por ETI a nivel nacional se ubicó ligeramente sobre el promedio de 5 años para el mismo período (Gráfico 2). Durante la SE 47, la actividad de influenza aumentó ligeramente comparado con la semana previa: una región en Quebec reportó actividad diseminada; cuatro regiones en Alta, Ontario y NB reportaron actividad localizada de ETI, y la mayoría de los territorios y provincias reportaron esporádica o nula actividad de ETI (Gráfico 3). Durante la SE 47, las detecciones de influenza aumentaron (Gráfico 1) y los virus influenza A(H1N1)pdm09 predominaron entre las detecciones de influenza. La positividad de VSR permaneció a niveles bajos en semanas recientes, en tanto predominaron adenovirus y parainfluenza (Gráfico 4). Desde la SE 35 a SE 47, las hospitalizaciones pediátricas aumentaron sobre el promedio para 2010-2018 y llegaron a un pico 4-6 semanas antes que en las previas temporadas (Gráfico 5). Se reportó un total de 145 hospitalizaciones pediátricas, con todos excepto dos casos asociados a influenza A y mayoritariamente en niños menores de 9 años de edad. No se registraron muertes durante la temporada 2018-2019.

Graph 1. Canada: Influenza virus distribution by EW, 2014-18, EW 47. /

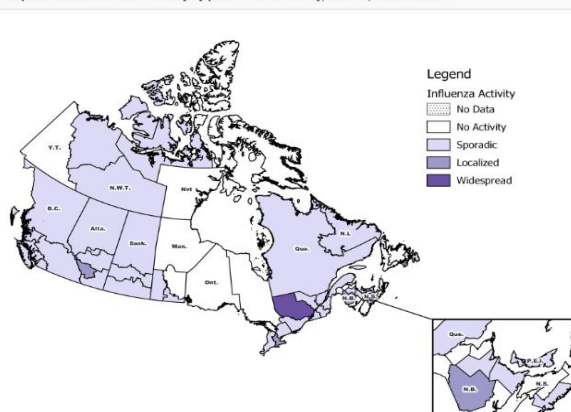
Distribución de virus de influenza por SE, 2014-18. SE 46.



Graph 3. Canada: Influenza activity by provincial and territorial influenza surveillance regions, 2017-2018, EW 47, 2018. /

Actividad de influenza por regiones de vigilancia de influenza provinciales y territoriales, 2017-2018, SE 47, 2018.

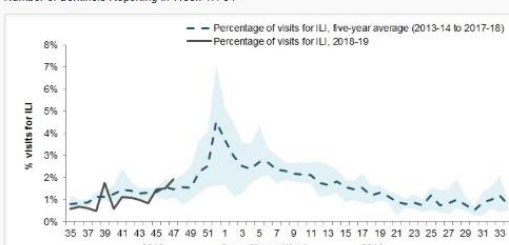
Figure 1 – Map of overall influenza/ILI activity by province and territory, Canada, week 2018-47



Graph 2. Canada: Percentage of ILI visits by sentinel sites, EW 47, 2018 (in comparison to 2012-2017 seasons)

Porcentaje de casos de ETI por sitio centinela, SE 47, 2018 (en comparación con temporadas 2012-2017)

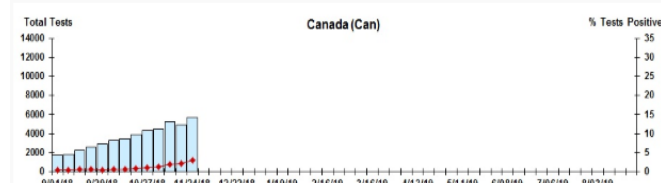
Figure 4 – Percentage of visits for ILI reported by sentinels by report week, Canada, weeks 2018-35 to 2018-47
Number of Sentinels Reporting in Week 47: 84



Graph 4. Canada: RSV distribution by EW, 2014-18, EW 47. /

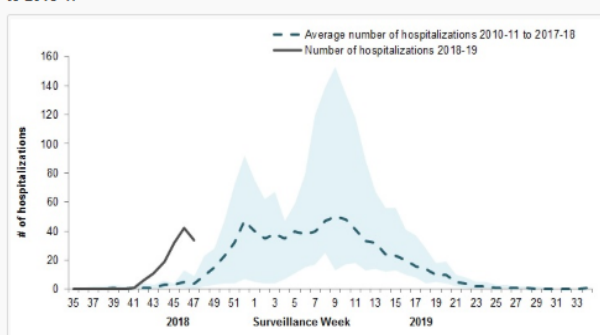
Distribución de VSR por SE, 2014-18. SE 47.

Figure 3: Positive Respiratory syncytial virus (RSV) Tests (%) in Canada by Region by Week of Report



Graph 5. Canada: Number of pediatric hospitalizations (≤ 16 years old) by EW, EW 35-47, 2018. /
Número de hospitalizaciones pediátricas (≤ 16 años) por SE, SE 35-47, 2018

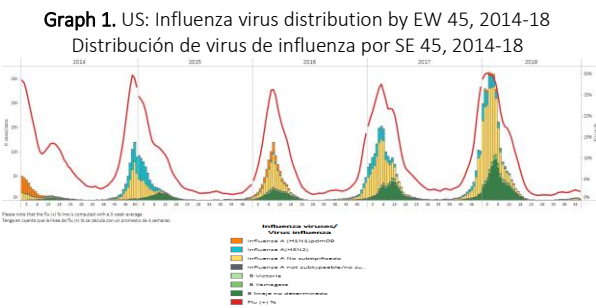
Figure 7 – Number of pediatric (≤ 16 years of age) hospitalizations reported by the IMPACT network, by week, Canada, weeks 2018-35 to 2018-47



*To view more epi data, view [here](#). / Para ver mas datos epi, vea [aquí](#).

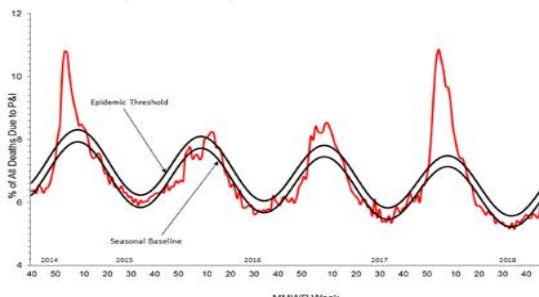
United States / Estados Unidos

- In EW 47, ILI activity at the national level increased above the seasonal threshold of 2.2% (Graph 4). Two states (Georgia and Louisiana) experienced high ILI activity and three states (Alabama, Oklahoma, and Utah) experienced moderate ILI activity, with minimal activity reported in the rest of the country during EW 47 (Graph 5). Influenza detections continued at low levels, while RSV activity slightly decreased in EW 45. Influenza A(H1N1)pdm09, A(H3N2) and Yamagata lineage of B co-circulated in recent weeks (Graph 1,2). The proportion of pneumonia and influenza deaths among all deaths was below the epidemic threshold of 6.2% for EW 45 (Graph 3). Five pediatric deaths due to influenza A were reported during the 2018-2019 season. / En la SE 47, la actividad de ETI a nivel nacional aumentó sobre el umbral estacional de 2,2% (Gráfico 4). Dos estados (Georgia y Louisiana) presentaron actividad de ETI elevada y tres estados (Alabama, Oklahoma y Utah) presentaron actividad moderada de ETI, con mínima actividad reportada en el resto del país durante la SE 47 (Gráfico 5). Las detecciones de influenza continuaron a niveles bajos, en tanto la actividad de VSR disminuyó ligeramente en la SE 45. Influenza A(H1N1)pdm09, A(H3N2) y el linaje Yamagata de B co-circularon en semanas recientes (Gráfico 1, 2). La proporción de fallecidos por neumonía e influenza del total de fallecidos se ubicó bajo el umbral epidémico de 6,2% para la SE 45 (Gráfico 3). Se reportaron cinco muertes pediátricas debida a influenza A durante la temporada 2018-2019.

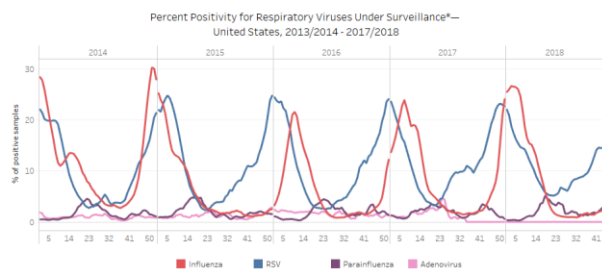


Graph 3. US: Pneumonia and influenza mortality. EW 45, 2018
Mortalidad por neumonía e influenza. SE 45, 2018

Pneumonia and Influenza Mortality from the National Center for Health Statistics Mortality Surveillance System Data through the week ending November 17, 2018, as of November 29, 2018



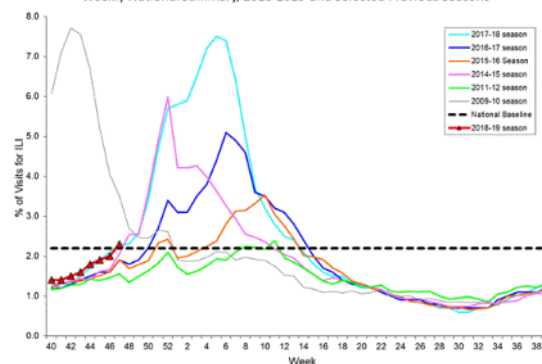
Graph 2. US: Percent positivity for respiratory virus EW 45
Porcentaje de positividad para virus respiratorios, por SE 45, 2013/14- 2018/19



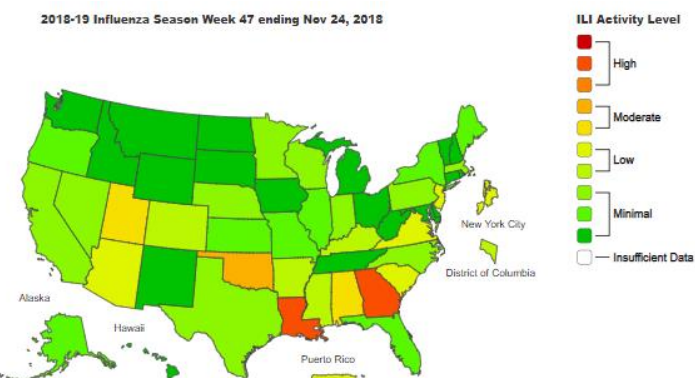
Graph 4. US: Percentage of visits for ILI, 2018-2019. EW 47

Porcentaje de visitas por ETI, 2018-2019. SE 47.

Percentage of Visits for Influenza-like Illness (ILI) Reported by the U.S. Outpatient Influenza-like Illness Surveillance Network (ILINet), Weekly National Summary, 2018-2019 and Selected Previous Seasons



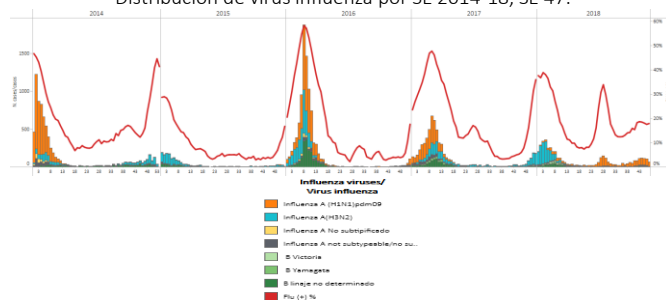
Graph 5. US: ILI activity level indicator determined by state, EW 47, 2018-2019.
Indicador de nivel de actividad de ETI por estado, SE 47, 2018-2019.



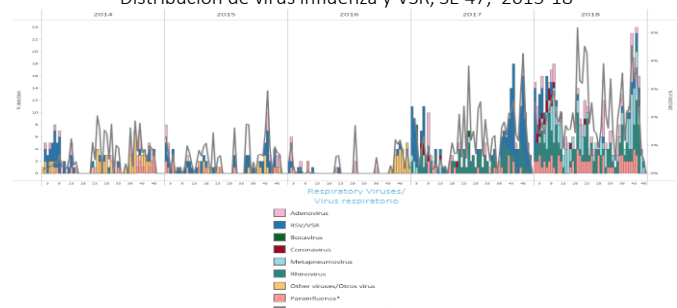
Mexico

- During EW 47, influenza activity slightly decreased at the alert threshold, with influenza A(H1N1)pdm09 predominating in recent weeks. Rhinovirus, Parainfluenza and metapneumovirus co-circulated in the last month, with few RSV detections (Graph 1, 2). Up to EW 48, influenza-associated SARI/ILI counts were higher than the levels observed during most other seasons (Graph 3) and 50 influenza-associated SARI/ILI deaths were reported as compared from previous seasons for the same period (Graph 4, 8). In EW 47, 18 states reported higher influenza-associated SARI/ILI counts than the historic average: Baja California, Campeche, Chiapas, Colima, Distrito Federal, Durango, Guerrero, Hidalgo, Oaxaca, Puebla, Querétaro, Quintana Roo, Sinaloa, Tabasco, Tamaulipas, Tlaxcala, Veracruz and Yucatan (Graph 5). In EW 47, 10 states reported higher influenza-associated SARI/ILI death counts than the historic average: Baja California, Chiapas, Oaxaca, Querétaro, Quintana Roo, Sinaloa, Sonora, Tabasco, Veracruz and Yucatan (Graph 6). During EW 48, 751 cumulative influenza-associated SARI/ILI cases were reported, with the highest counts in Veracruz, Guerrero, Chiapas, Oaxaca and Sinaloa; and 50 influenza-associated SARI/ILI death predominating in Veracruz, Chiapas, Tabasco, Puebla and Sonora (Graphs 7, 8). / Durante la SE 47, la actividad de influenza disminuyó ligeramente en el umbral de alerta, con predominio de influenza A(H1N1)pdm09 en semanas previas. Co-circularon rinovirus, parainfluenza y metapneumovirus en el último mes, con contadas detecciones de VSR (Gráfico 1,2). Hasta la SE 48, los recuentos de IRAG/ETI asociados a influenza fueron superiores a los niveles observados durante la mayoría de las restantes temporadas (Gráfico 3) y se reportaron 50 casos fallecidos de IRAG/ETI asociados a influenza en relación a las previas temporadas para el mismo período (Gráfico 4,8). En la SE 47, 18 estados reportaron mayores recuentos de IRAG/ETI asociados a influenza en comparación con el promedio histórico: Baja California, Campeche, Chiapas, Colima, Distrito Federal, Durango, Guerrero, Hidalgo, Oaxaca, Puebla, Querétaro, Quintana Roo, Sinaloa, Tabasco, Tamaulipas, Tlaxcala, Veracruz y Yucatán (Gráfico 5). En la SE 7, 10 estados reportaron mayor recuento de fallecidos por IRAG/ETI asociados a influenza en comparación con el promedio histórico: Baja California, Chiapas, Oaxaca, Querétaro, Quintana Roo, Sinaloa, Sonora, Tabasco, Veracruz y Yucatán (Gráfico 6). Durante la SE 48, fue reportado un total acumulado de 751 casos de IRAG/ETI asociados a influenza con el mayor recuento en Veracruz, Guerrero, Chiapas, Oaxaca y Sinaloa; y 50 muertes por IRAG/ETI asociadas a influenza predominando en Veracruz, Chiapas, Tabasco, Puebla y Sonora (Gráficos 7, 8).

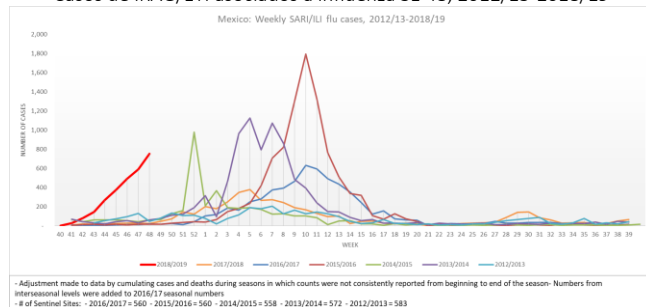
Graph 1. Mexico: Influenza virus distribution by EW 2014-18, EW 47.
Distribución de virus influenza por SE 2014-18, SE 47.



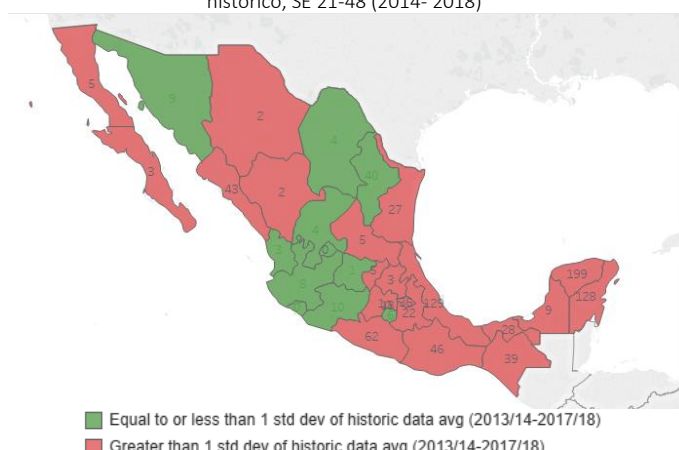
Graph 2. Mexico: Influenza and RSV distribution, EW 47, 2015-18
Distribución de virus influenza y VSR, SE 47, 2015-18



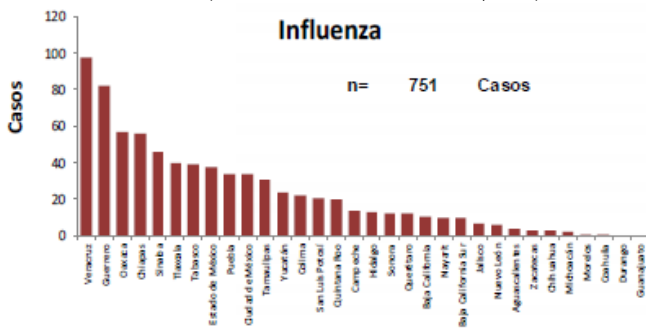
Graph 3. Mexico: Influenza-associated SARI/ILI cases EW 48, 2012/13-2018/19
Casos de IRAG/ETI asociados a influenza SE 48, 2012/13-2018/19



Graph 5. Mexico: Cumulative influenza-associated SARI/ILI cases greater than historic average, EW 21-48 (2014- 2018)
Casos acumulados de IRAG/ETI asociados a influenza superior al promedio histórico, SE 21-48 (2014- 2018)

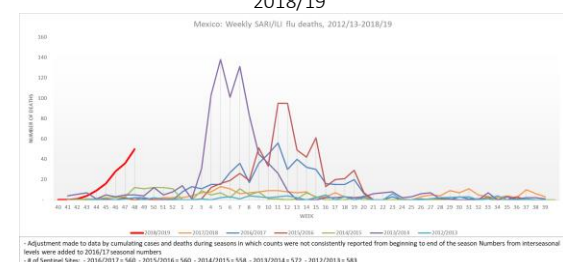


Graph 7. Mexico: SARI/ILI-influenza cases EW 48, 2018/19
Casos de IRAG/ETI asociados a influenza SE 48, 2018/19



*To view more epi data, view [here](#). / Para ver mas datos epi, vea [aquí](#).

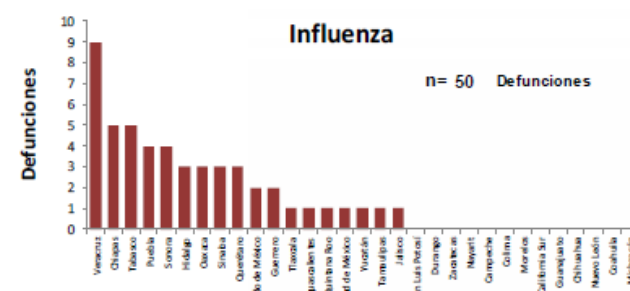
Graph 4. Mexico: Influenza-associated SARI/ILI deaths EW 48, 2012/13-2018/19
Casos fallecidos por IRAG/ETI asociados a Influenza SE 48, 2012/13-2018/19



Graph 6. Mexico: Cumulative influenza-associated SARI/ILI deaths greater than historic average, EW 21-48 (2014- 2018)
Fallecidos acumulados de IRAG/ETI asociados a influenza superior al promedio histórico, SE 21- 48 (2014- 2018)



Graph 7. Mexico: SARI/ILI-influenza deaths EW 48, 2018/19
Casos fallecidos por IRAG/ETI asociados a Influenza SE 48, 2018/19

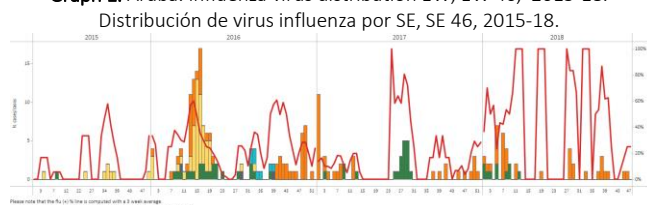


Caribbean / Caribe

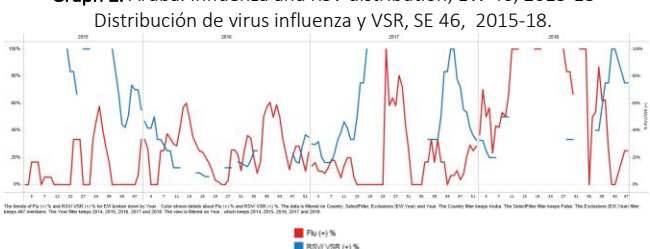
Aruba

- During EW 46, low influenza detections were reported and influenza A(H1N1)pdm09 activity predominated (Graph 1) with increased SARI activity in recent weeks (Graph 3). The proportion of RSV positive samples was higher than the proportion of influenza samples in EW 46 (Graph 2). / Durante la SE 46, se reportaron bajas detecciones de influenza y la actividad de influenza A(H1N1)pdm09 predominó (Gráfico 1) con mayor actividad de IRAG en semanas recientes (Gráfico 3). La proporción de muestras positivas para VSR fue mayor que la proporción de muestras para influenza en la SE 46 (Gráfico 2).

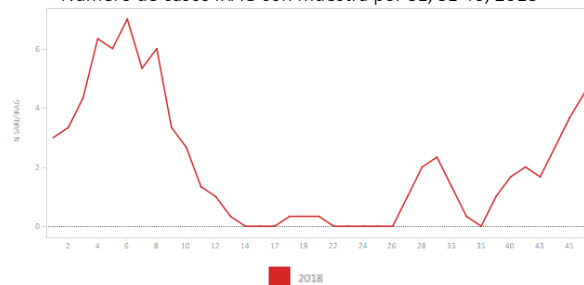
Graph 1. Aruba. Influenza virus distribution EW, EW 46, 2015-18.



Graph 2. Aruba. Influenza and RSV distribution, EW 46, 2015-18.



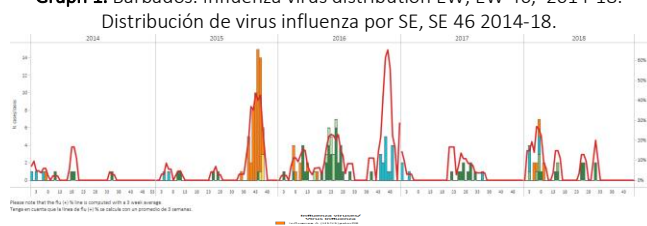
Graph 3. Aruba: Number of SARI cases with samples by EW, EW 46, 2018.
Número de casos IRAG con muestra por SE, SE 46, 2018



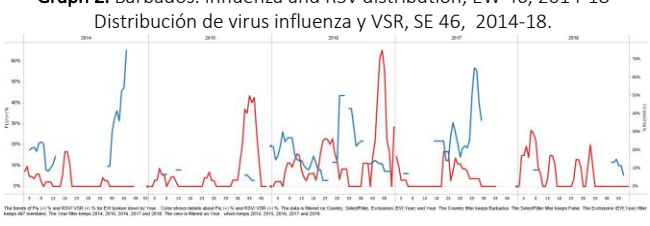
Barbados

- From EW 33 to EW 46, no influenza detection were reported and influenza B circulated in previous weeks (Graph 1, 2). During 2018, few RSV detections were reported (Graph 2). As of EW 46, the decreased SARI activity was below the levels observed in the 2015-2017 seasons for the same period (Graph 3). / Desde la SE 33 a la SE 46, no se reportaron detecciones de influenza e influenza B circuló en semanas previas (Gráfico 1, 2). Durante 2018, se reportaron escasas detecciones de VSR (Gráfico 2). Hasta la SE 46, la actividad disminuida de IRAG se ubicó por debajo de los niveles observados en las temporadas 2015-2017 para el mismo período (Gráfico 3).

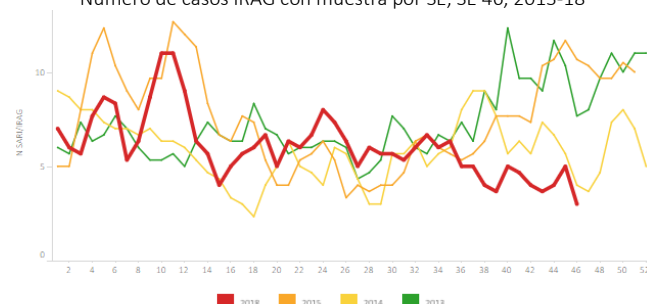
Graph 1. Barbados. Influenza virus distribution EW, EW 46, 2014-18.



Graph 2. Barbados. Influenza and RSV distribution, EW 46, 2014-18.

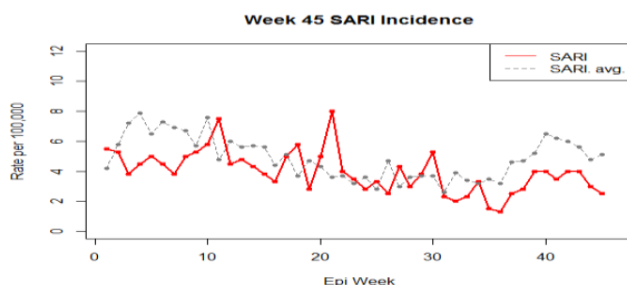


Graph 3. Barbados: Number of SARI cases with samples by EW, EW 46, 2013-18.
Número de casos IRAG con muestra por SE, SE 46, 2013-18

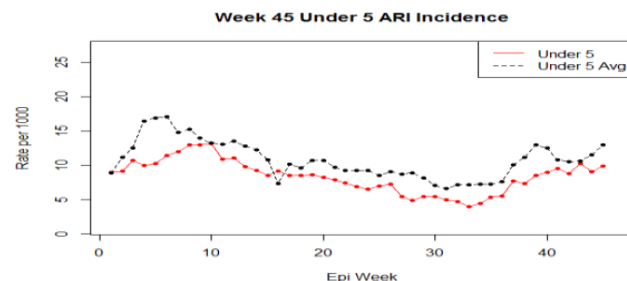


- During EW 45, slightly decreased SARI activity was reported (Graph 1), as compared to the previous five seasons' average. In EW 43, the ARI incidence rate among <5 years of age children was lower than the previous seasons for the same period (Graph 2). In EW 45, no influenza samples were detected with influenza B and A(H1N1)pdm09 circulating in the previous weeks (Graph 3). / Durante la SE 45, se reportó ligero descenso en la actividad de IRAG (Gráfico 1), en comparación con el promedio de las cinco temporadas previas. En la SE 45, la incidencia de IRA entre los niños <5 años fue menor que en las temporadas previas para el mismo período (Gráfico 2). En la SE 45, no se detectaron muestras de influenza con circulación de influenza B y A(H1N1)pdm09 en semanas previas (Gráfico 3).

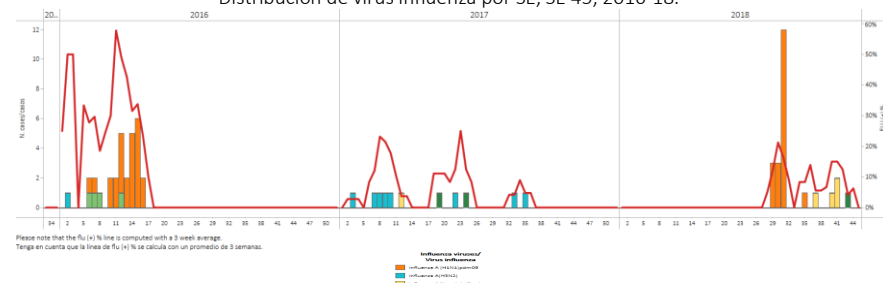
Graph 1. Belize: SARI incidence rate per 100,000, EW 45, 2018
Tasa de incidencia de IRAG por 100.000, SE 45, 2018



Graph 2. Belize: ARI incidence rate per 100,000, <5 years old, EW 45, 2018
Tasa de incidencia de IRA por 100.000, <5 años de edad, SE 45, 2018



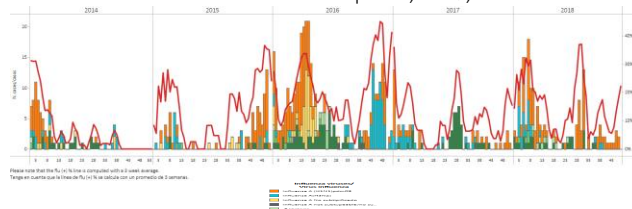
Graph 3. Belize. Influenza virus distribution EW, EW 45, 2016-18.
Distribución de virus influenza por SE, SE 45, 2016-18.



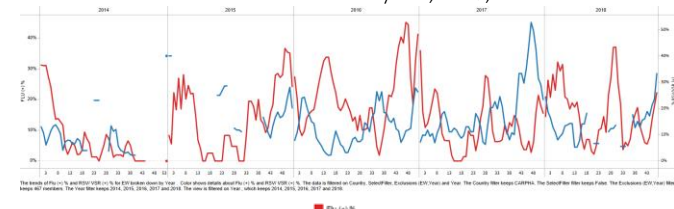
CARPHA

- During EW 47, increased influenza detections were reported with influenza A(H1N1)pdm09 circulating (Graph 1). The proportion of influenza positive samples and the proportion of RSV positive samples increased decreased from previous weeks (Graph 2) / Durante la SE 47, se reportaron mayores detecciones de influenza con circulación de influenza A(H1N1)pdm09 (Gráfico 1). La proporción de muestras positivas para influenza y la proporción de muestras positivas para VSR aumentaron en relación a semanas previas (Gráfico 2).

Graph 1. CARPHA. Influenza virus distribution EW, EW 47, 2014-18.
Distribución de virus influenza por SE, SE 47, 2014-18.



Graph 2. CARPHA. Influenza and RSV distribution, EW 47, 2014-18
Distribución de virus influenza y VSR, SE 47, 2014-18.



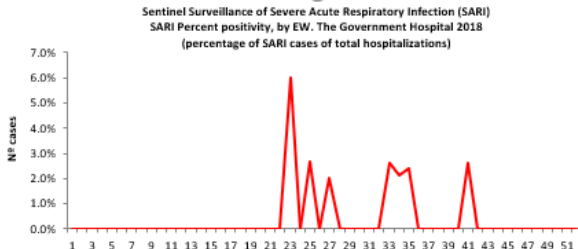
*To view more epi data, view [here](#). / Para ver mas datos epi, vea [aquí](#).

Cayman Island / Islas Caiman

- From EW 23 to EW 44, SARI activity remained at low levels, with no cases reported in EW 44 (Graph 1). / Desde la SE 23 a SE 44, la actividad de IRAG permaneció a niveles bajos, sin casos reportados en la SE 44 (Gráfico 1).

Graph 1. Cayman Island/ Islas Caiman: Percentage of SARI cases by EW, EW 44, 2018.

Porcentaje de casos de IRAG por SE, SE 44, 2018

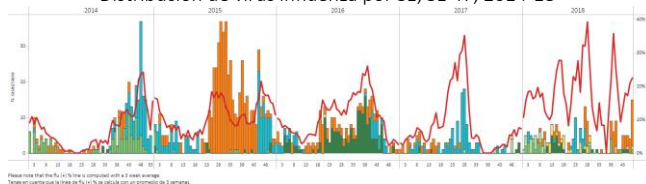


Cuba

- During EW 47, slightly increased influenza detections were reported with influenza A(H1N1)pdm09 and B co-circulating (Graph 1); while there was no RSV circulation during the 2018 season until EW 39 (Graph 2). The number of SARI cases decreased and were lower than in the 2017 season for the same period and were among the <5-years-old population, with influenza A(H1N1)pdm09 predominating (Graph 1,3). / Durante la SE 47 se reportaron ligeramente mayores detecciones de influenza, con co-circulación de influenza A(H1N1)pdm09 y B (Gráfico 1), en tanto no se reportó circulación de VSR durante la temporada 2018 hasta la SE 39 (Gráfico 2). Los casos de IRAG disminuyeron y estuvieron por debajo de los niveles de la temporada 2017 para el mismo período y fueron entre la población de < 5 años de edad con predominio de influenza A(H1N1)pdm09 (Gráfico 1, 3).

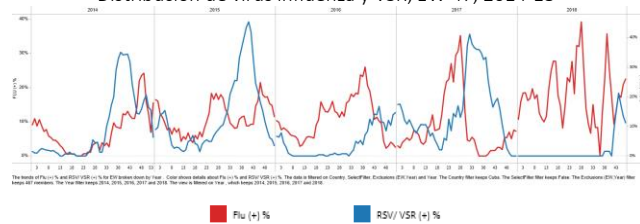
Graph 1. Cuba: Influenza virus distribution by EW, EW 47, 2014-18

Distribución de virus influenza por SE, SE 47, 2014-18



Graph 2. Cuba Influenza and RSV distribution, EW 47, 2014-18

Distribución de virus influenza y VSR, EW 47, 2014-18



Graph 3. Cuba: Percent positivity for influenza and RSV among SARI cases by EW, EW 47, 2015-18

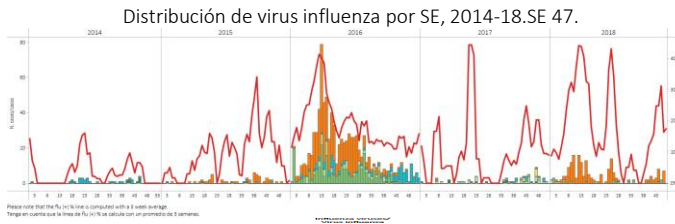
Porcentaje de positividad por influenza y VSR entre todos casos. por SE. SE 47. 2015-18.



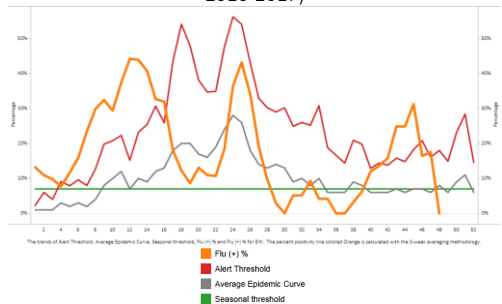
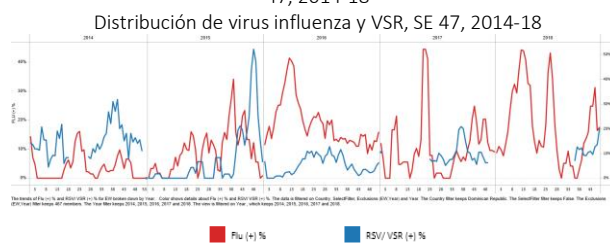
*To view more epi data, view here / Para ver mas datos epi, vea aquí

Dominican Republic / República Dominicana

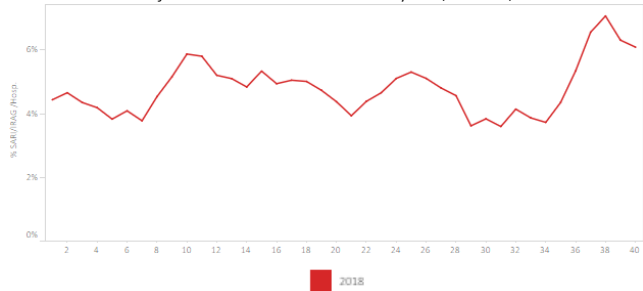
- During EW 47, decreased influenza detections were reported, with influenza B and A(H1N1)pdm09 co-circulating in recent weeks (Graph 1); RSV detections increased from the prior week (Graph 2). Influenza positivity was below the alert threshold and the average epidemic curve (Graph 3). During EW 41, the number of SARI cases slightly decreased from previous weeks (Graph 4), with a similar proportion of influenza and RSV positive samples. The SARI and influenza-associated SARI cases predominated among the <5 years old. / Durante la SE 47, se reportaron menores detecciones de influenza, con co-circulación de influenza B y A(H1N1)pdm09 en semanas recientes (Gráfico 1); las detecciones de VSR aumentaron en relación a la semana previa (Gráfico 2). La positividad de influenza se ubicó bajo el umbral de alerta y el umbral epidémico (Gráfico 3). Durante la SE 41, el número de casos de IRAG disminuyó ligeramente en relación a semanas previas (Gráfico 4), con una proporción similar de muestras positivas para influenza y VSR. Los casos de IRAG y los casos de IRAG asociados a influenza predominaron en los <5 años.

Graph 1. Dominican Republic: Influenza virus distribution EW, 2014-18. EW 47.**Graph 3.** Dominican Republic: Percent positivity for influenza, EW 47 2018 (in comparison to 2010-2017)

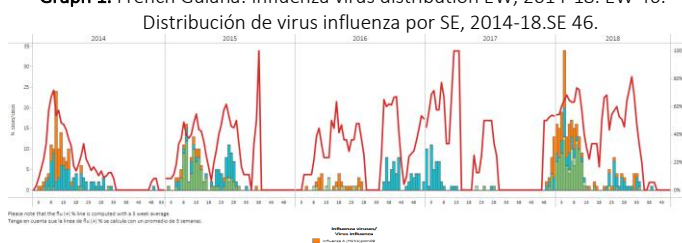
Porcentaje de positividad de influenza, SE 47, 2018 (en comparación a 2010-2017)

*To view more epi data, view [here](#). / Para ver mas datos epi, vea [aquí](#).**Graph 2.** Dominican Republic Influenza and RSV distribution, EW 47, 2014-18**Graph 4.** Dominican Republic: Percent of SARI cases out of total hospitalizations, by EW, EW 41, 2018

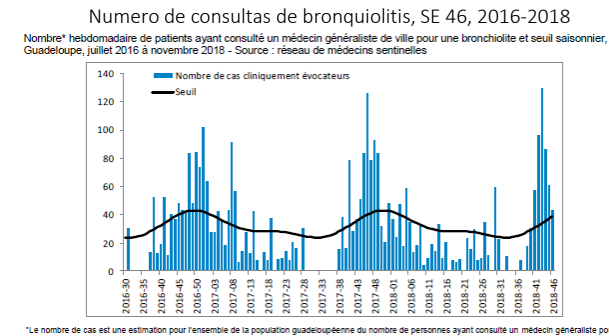
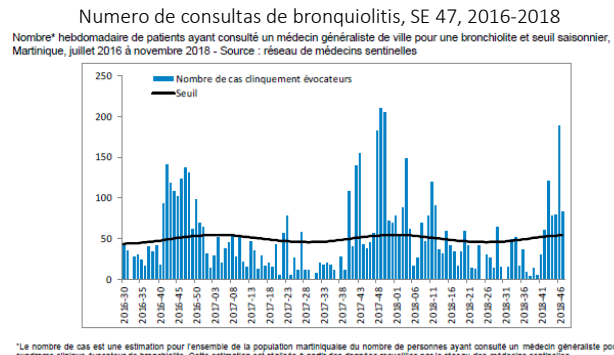
Porcentaje de casos de todos IRAG por EW, EW 41, 2018

**French Guiana**

- During EW 46, no influenza detections were reported, with influenza A(H3N2) circulating in recent weeks (Graph 1). Influenza positivity was below the seasonal threshold and the average epidemic curve. / Durante la SE 46, no se reportaron detecciones de influenza, con circulación de influenza A(H3N2) en semanas recientes (Gráfico 1). La actividad de influenza se ubicó bajo el umbral estacional y la curva epidémica.

Graph 1. French Guiana: Influenza virus distribution EW, 2014-18. EW 46.**French Territoires / Territorios Franceses**

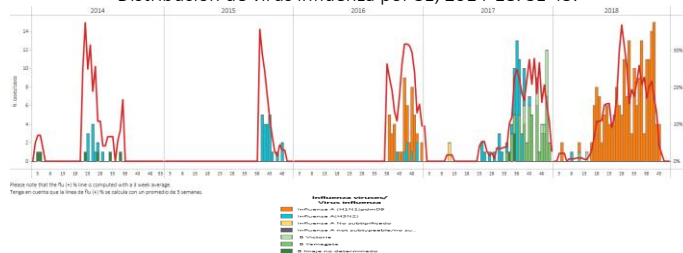
- During EW 46, 2018, bronchiolitis consultations decreased after a peak in EW 43 and were higher than the seasonal average in Guadeloupe (Graph 1). As of EW 47, in Martinique, bronchiolitis activity remained above the seasonal levels for the last 5 weeks of the 2018 season (Graph 2). / Durante la SE 46 de 2018, las consultas por bronquiolitis disminuyeron luego de un pico en la SE 43 y fueron mayores que el promedio estacional en Guadalupe (Gráfico 1). Hasta la SE 47, en Martinica, la actividad de bronquiolitis permaneció sobre los niveles estacionales durante las últimas cinco semanas de la temporada 2018 (Gráfico 2).

Graph 1. Guadeloupe: Number of bronchiolitis consultations, EW 46, 2016-2018**Graph 2.** Martinique: Number of bronchiolitis consultations, EW 47, 2016-2018**Haiti**

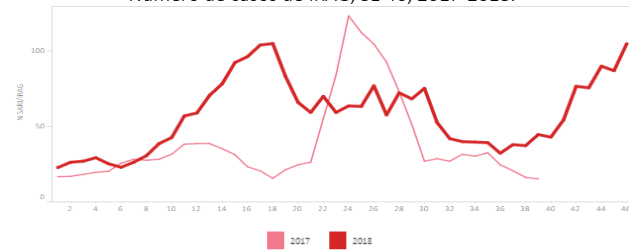
- During 2018, influenza activity began earlier than in the previous 2014-2017 seasons and peaked in EW 30. During EW 45, influenza cases decreased as compared to the previous weeks, with influenza A(H1N1)pdm09 predominated (Graph 1). As of EW 46, the number of SARI hospitalizations increased from previous weeks; and was higher than the levels observed in 2017 for the same period (Graph 2), with most of the cases among the <5 years old infants. / Durante 2018, la actividad de influenza inició más tempranamente que en las temporadas previas de 2014-2017 y presentó un pico en la SE 30. Durante la SE 45, los casos de influenza disminuyeron en comparación a las semanas previas, con predominio de influenza A(H1N1)pdm09 (Gráfico 1). Hasta la SE 46, el número de hospitalizaciones por IRAG se encuentra en descenso respecto a semanas previas; siendo superior a los niveles observados en 2017 para el mismo período (Gráfico 2); con la mayoría de los casos reportaron entre los niños <5 años de edad.

Graph 1. Haiti: Influenza virus distribution EW, 2014-18. EW 45.

Distribución de virus influenza por SE, 2014-18. SE 45.

**Graph 2.** Haiti: Number of SARI cases, EW 46, 2017-2018. /

Número de casos de IRAG, SE 46, 2017-2018.



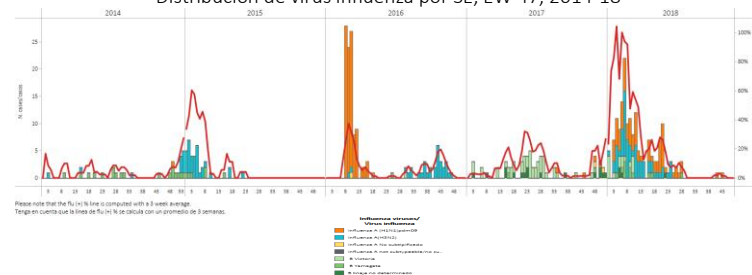
*To view more epi data, view [here](#). / Para ver mas datos epi, vea [aquí](#).

Jamaica

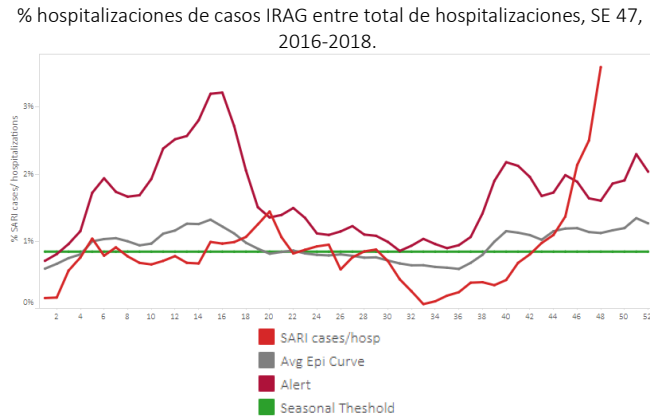
- During EW 47, SARI activity increased above the average epidemic curve, as compared to the 2016-2017 seasons (Graph 2). The number of ARI cases remained above the seasonal threshold, as compared to the 2014-2017 seasons for the same period (Graph 3). During EW 41 and EW 47, few influenza A(H1N1)pdm09 detections were reported with no influenza cases reported in the previous two months (Graph 1). / Durante la SE 47, la actividad de IRAG permaneció sobre la curva epidémica promedio, en comparación a las temporadas 2016-2017 (Gráfico 2). El número de casos de IRA permaneció sobre el umbral estacional, respecto a las temporadas 2014-2017 para el mismo período (Gráfico 3). Durante la SE 41 y SE 47, se reportaron escasa detecciones de influenza A(H1N1)pdm09, sin reporte de casos de influenza en los dos meses previos (Gráfico 1).

Graph 1. Jamaica: Influenza virus distribution by EW, EW 47, 2014-18

Distribución de virus influenza por SE, EW 47, 2014-18

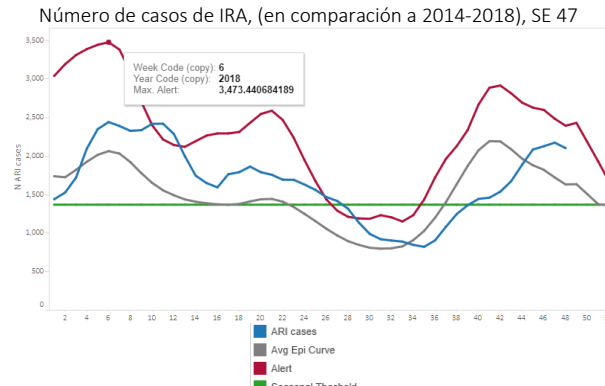


Graph 2. Jamaica: % SARI hospitalizations among total hospitalizations, EW
47, 2016-2018. /



*To view more epi data, view here. / Para ver mas datos epi, vea aquí.

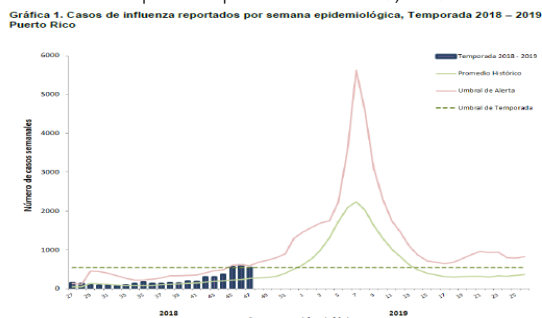
Graph 3. Jamaica: Number of ARI cases (compared to 2014-2018), EW
47



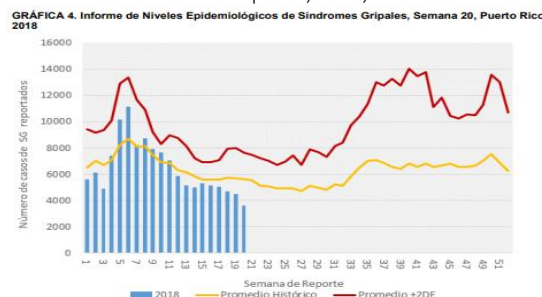
Puerto Rico

- During EW 47, decreased influenza cases were detected at the seasonal threshold, with predominance of influenza A(H1N1)pdm09 (Graph 1). During EW 47, no ILI activity was reported, and it remained below the average epidemic curve up to EW 21 (Graph 2). / Durante la SE 47, se han detectado menores casos de influenza en el umbral estacional, con predominio de influenza A(H1N1)pdm09 (Gráfico 1). Durante la SE 47, no se reportó actividad de ETI, y la misma permaneció por debajo de la curva epidémica media hasta la SE 21 (Gráfico 2).

Graph 1. Puerto Rico: Influenza-positive cases by EW 47, 2017-18
Casos positivos para influenza SE 47, 2017-18



Graph 2. Puerto Rico: ILI epidemic rates by EW 20, 2018 /
Tasas de ETI por SE, SE 20, 2018.

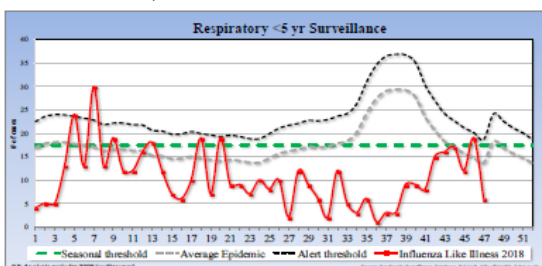


Saint Lucia

- During EW 47, the number of cases with respiratory symptoms among children under 5 years of age decreased below the seasonal threshold (Graph 1). During EW 47, SARI activity decreased and was lower than the levels from the 2016 season for the same period (Graph 2), with SARI admissions predominating among the 1 to 4 years of age population. No influenza activity was reported since EW 35 (Graph 3) / Durante la SE 47, el número de casos con síntomas respiratorios en niños menores de 5 años de edad disminuyó bajo el umbral estacional (Gráfico 1). Durante la SE 47, la actividad de IRAG disminuyó y fue menor que los niveles de la temporada 2016 para el mismo período (Gráfico 2), con predominio de las admisiones por IRAG entre el grupo de 1 y 4 años de edad. No se reportó actividad de influenza desde la SE 35 (Gráfico 3).

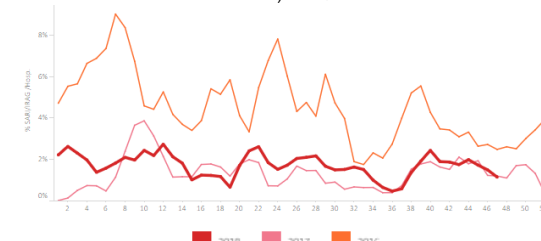
Graph 1. Saint Lucia: ILI cases distribution by EW among the < 5 years of age, EW 47, 2014-18

Distribución de ETI por SE entre los <5 años de edad, SE 47, 2014-18

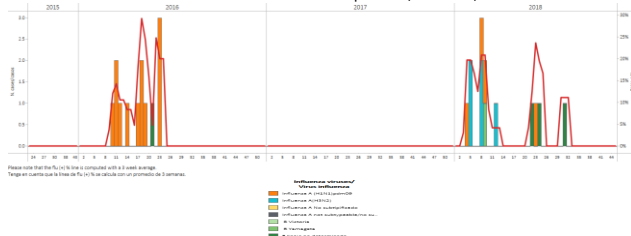


Graph 2. Saint Lucia: Percent of SARI cases per total hospitalizations by year, 2016-2018. FW 47. /

Porcentaje de casos de IRAG por todos hospitalizaciones por año, 2016-2018, SE 47.



Graph 3. St. Lucia: Influenza virus distribution by EW, EW 45, 2014-18
Distribución de virus influenza por SE, EW 45, 2014-18

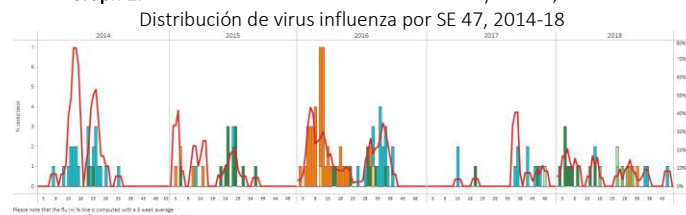


*To view more epi data, view [here](#). / Para ver mas datos epi, vea [aquí](#).

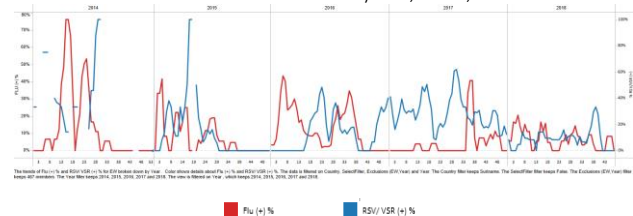
Suriname

- During EW 46, only one ILI case was reported with no activity in the previous eight weeks, while SARI-related hospitalizations increased in EW 47 and were higher than the 2016-2017 seasons for the same period (Graph 3, 4). In EW 43- EW 47, increased SARI cases were associated with similar proportion of RSV samples and influenza samples; and predominated among the <5 years-of-age population. During EW 47, low influenza activity was reported, with influenza A(H3N2) circulating (Graph 1); RSV activity decreased (Graph 2). / Durante la SE 46, solo un caso de ETI fue reportado sin actividad en las ocho semanas previas, en tanto las hospitalizaciones relacionadas con IRAG aumentaron en la SE 47 y fueron superiores que en las temporadas 2016-2017 para el mismo período (Gráfico 3, 4). En las SE 43- SE 47, el aumento de casos de IRAG se asoció a similar proporción de muestras positivas para VSR y para influenza; y predominó entre la población de <5 años de edad. Durante la SE 47, se reportó baja actividad de influenza, con circulación de influenza A(H3N2) (Gráfico 1); la actividad de VSR disminuyó (Gráfico 2).

Graph 1. Suriname: Influenza virus distribution by EW 47, 2014-18



Graph 2. Suriname: Influenza and RSV distribution, EW 47, 2014-18
Distribución de virus influenza y VSR, SE 47, 2014-18



Graph 3. Suriname: Number of ILI cases, by age, by EW, 2016-2018.EW 46
Número de casos ETI, en grupo de edad, por SE, 2016-2018, SE 46



*To view more epi data, view [here](#). / Para ver mas datos epi, vea [aquí](#).

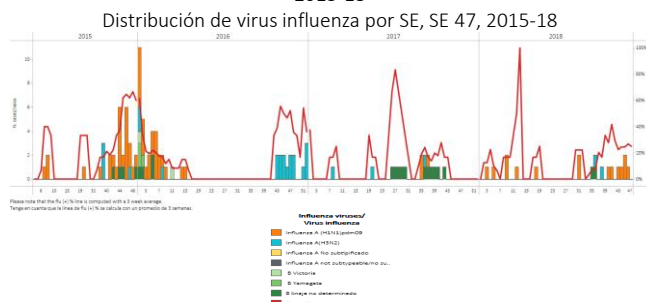
Graph 4. Suriname: % SARI hospitalizations per total hospitalizations, by EW, 2016-2018.EW 47.
Casos % de hospitalizaciones IRAG entre todas las hospitalizaciones, por SE, 2016-2018.SE 47.



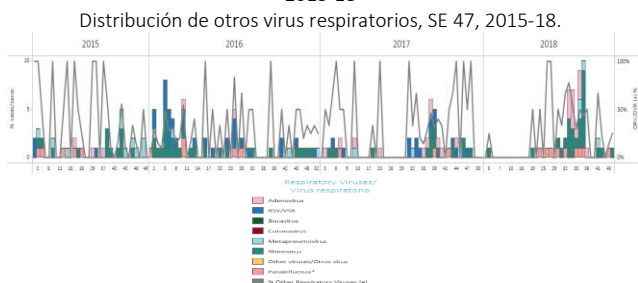
Trinidad & Tobago

- During EW 47, decreased influenza detections were reported, with influenza A(H1N1)pdm09 predominating in previous weeks (Graph 1). Rhinovirus and parainfluenza virus circulated in recent weeks, and there were no RSV detections reported (Graph 2). As of EW 45, SARI activity decreased from the previous week (Graph 3). / Durante la SE 47, se reportaron menores detecciones de influenza, con predominio de influenza A(H1N1)pdm09 en semanas previas (Gráfico 1). Rhinovirus y parainfluenza circularon en semanas recientes y no se reportaron detecciones de VSR (Gráfico 2). Hasta la SE 45, la actividad de IRAG disminuyó en relación a la semana previa (Gráfico 3).

Graph 1. Trinidad & Tobago: Influenza virus distribution by EW, EW 47, 2015-18



Graph 2. Trinidad & Tobago. Other respiratory virus distribution, EW 47, 2015-18



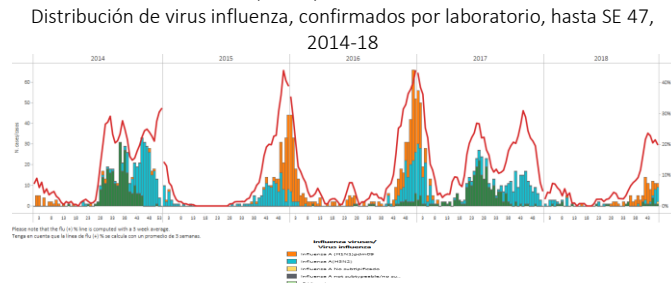
Graph 3. Trinidad & Tobago: Number of SARI cases by EW, EW 45, 2018



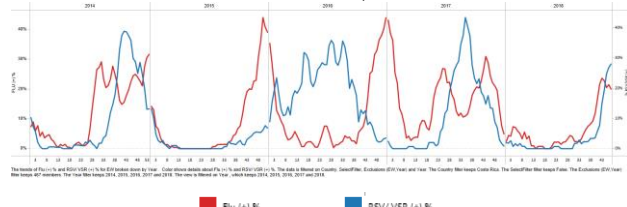
Costa Rica

- During EW 47, influenza activity slightly decreased from the previous weeks with influenza A(H3N2) predominating (Graph 1). Influenza activity during EW 47 was lower than during the 2017 season for the same period and RSV activity increased (Graph 1, 2). In EW 47, the proportion of SARI hospitalizations (4%), the proportion of SARI-associated deaths (32%), and the proportion of cases with ICU admissions (26.5%) were higher than in the previous weeks and higher as compared to the 2017 season for the same period (Graph 3). / Durante la SE 47, la actividad de influenza disminuyó ligeramente en relación a las semanas previas con predominio de influenza A(H3N2) (Gráfico 1). La actividad de VSR aumentó (Gráficos 1, 2). En la SE 47, la proporción de hospitalizaciones por IRAG (4%), la proporción de muertes asociadas a IRAG (32%) y la proporción de casos de IRAG admitidos a UCI (26,5%) fueron mayores que en las semanas previas y mayores en comparación a la temporada 2017 para el mismo período (Gráfico 3).

Graph 1. Costa Rica: Influenza virus distribution, Laboratory confirmed samples, by EW 47, 2014-18



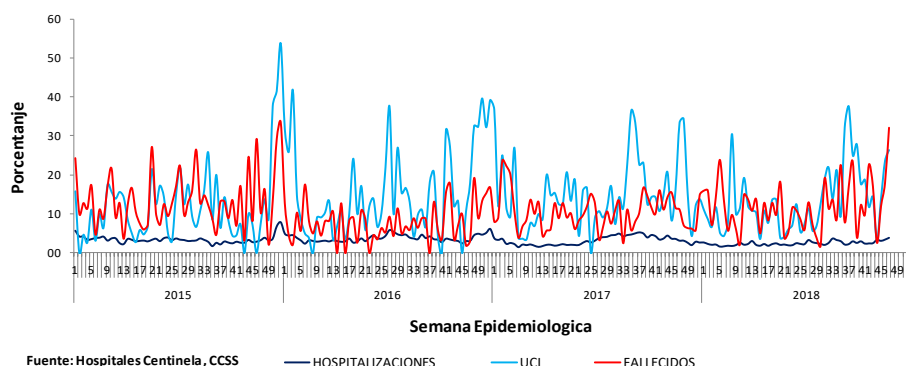
Graph 2. Costa Rica: Influenza and RSV distribution, EW 47, 2014-18
Distribución de virus influenza y VSR, SE 47, 2014-18



Graph 3. Costa Rica: Proportion of SARI hospitalizations, ICU admissions and deaths among all hospitalizations in sentinel sites by year. Costa Rica, EW 47, 2015-2018.

Distribución de hospitalizaciones por IRAG, admisiones a UCI y fallecidos sobre el total de hospitalizaciones en sitios centinela por año. Costa Rica, SE 47, 2015-2018

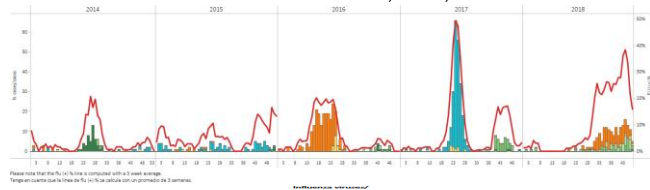
IRAG (%): Hospitalizaciones, admisiones a UCI y defunciones.
Hospitales Centinela, CCSS. Costa Rica,
SE N°47 Período 2015 - 2018.



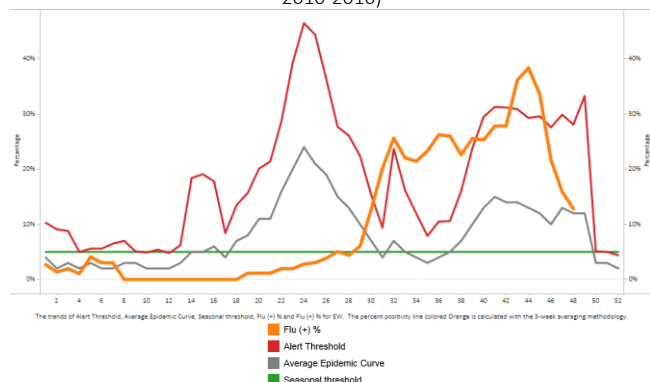
El Salvador

- During EW 47, influenza activity decreased above the average epidemic curve with influenza A(H1N1)pdm09 and B co-circulating (Graphs 1, 3). Few RSV detections were reported as compared to the previous season (Graph 2). During EW 47, the percentage of SARI cases slightly decreased and were lower to levels observed in the 2016 season (Graph 4, 5); while pneumonia counts increased from the previous weeks and were lower than during the 2016 season and similar to the levels of the 2017 season (Graph 5). / Durante la SE 47, la actividad de influenza disminuyó sobre la curva epidémica promedio con co-circulación de influenza A(H1N1)pdm09 y B (Gráficos 1, 3). Se reportaron contadas detecciones de VSR en relación a la temporada anterior (Gráfico 2). Durante la SE 47, el porcentaje de casos IRAG disminuyó ligeramente y fue menor a los niveles registrados en la temporada 2016 (Gráfico 4); en tanto los recuentos de neumonía aumentaron en relación a las semanas previas y fueron menores que durante la temporada 2016 y similares a los niveles de la temporada 2017 (Gráfico 5).

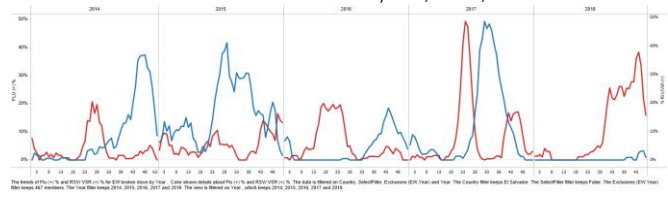
Graph 1. El Salvador: Influenza virus distribution, EW 47, 2014-18
Distribución de virus influenza, SE 47, 2014-18



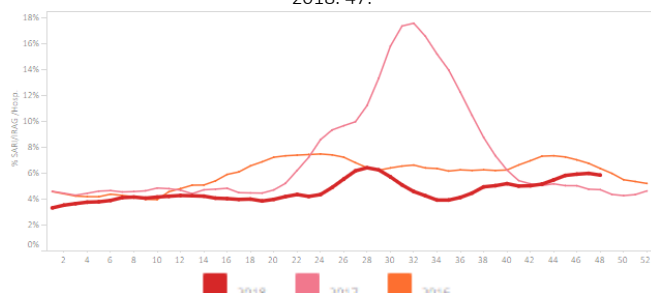
Graph 3. El Salvador: Percent positivity for influenza, EW 47, 2018 (in comparision to 2010-2016)
 Porcentaje de positividad de influenza, SE 47, 2018 (en comparación a 2010-2016)



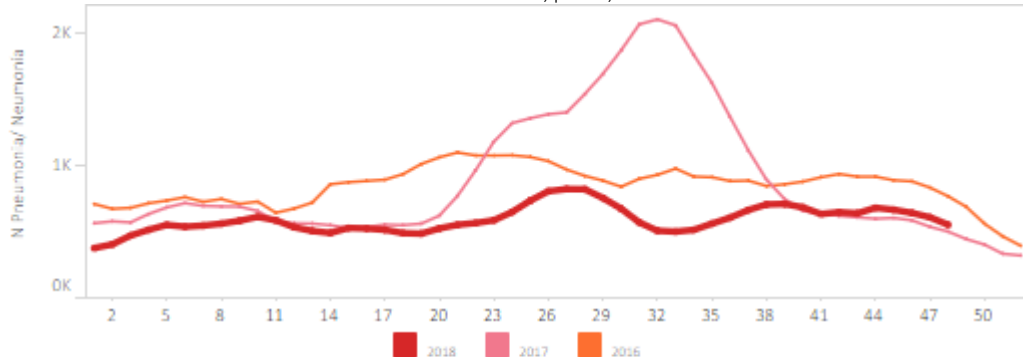
Graph 2. El Salvador: Influenza and RSV distribution, EW 47, 2014-18
Distribución de virus influenza y VSR, SE 47, 2014-18



Graph 4. El Salvador: Percentage of SARI cases out of total hospitalizations, by EW, 2016–2018. EW 47
Porcentaje de casos por IRAG de todas las hospitalizaciones, por SE, 2016–



Graph 5. El Salvador: Number of pneumonia cases by EW, 2016- 2018. EW 47.
Recuento de casos de neumonía, por SE, 2016- 2018. SE 47.



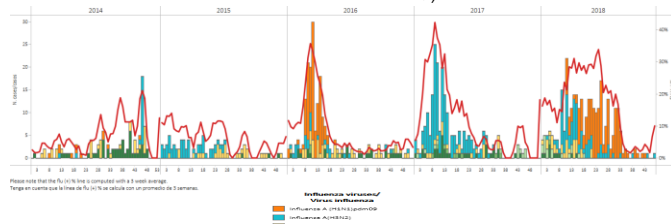
*To view more epi data, view here. / Para ver mas datos epi, vea aquí.

Guatemala

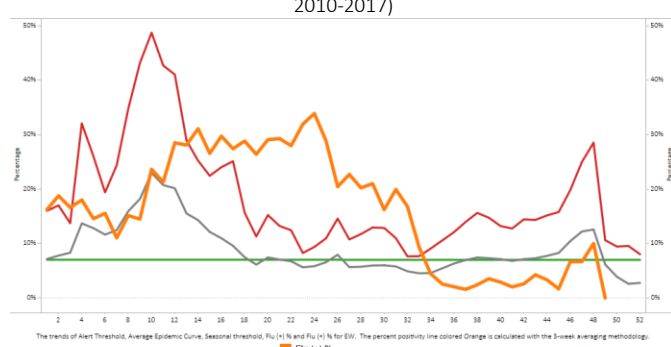
- During EW 47, influenza detections increased with influenza A(H1N1)pdm09 and A(H3N2) co-circulating in recent weeks (Graph 1). Influenza positivity was below the seasonal threshold, as compared to the 2010-2017 period (Graph 3); while the RSV activity remained elevated in the last weeks and higher than the levels reported in the 2017 season (Graph 2). From EW 37 to EW 47, the percentage of SARI cases among all hospitalizations decreased and was lower than during the 2017 season and associated to increased proportion of RSV detections compared to influenza detections (Graph 4, 5). The highest proportion of SARI cases was among <5 years old population. From EW 1 to EW 46, 2018, fewer cumulative SARI cases (777 cases), as well as influenza-associated SARI cases (22 cases) and SARI-associated deaths (18 cases) were reported than in the previous season. During EW 46, pneumonia and ARI activity increased and were slightly similar to the counts reported in the 2017 season (Graph 6, 7). / Durante la SE 47, las detecciones de influenza aumentaron con co-circulación de influenza A(H1N1)pdm09 y A(H3N2) (Gráfico 1). La positividad de influenza se ubicó bajo el umbral estacional, en comparación al período 2010-2017 (Gráfico 3); en tanto la actividad de VSR permaneció elevada en las últimas semanas y fue superior a los niveles de la temporada 2017 (Gráfico 2). Desde la SE 37 hasta la SE 47, el porcentaje de casos de IRAG del total de hospitalizaciones disminuyó y fue menor que en la temporada 2017 y asociada a mayor proporción de detecciones de VSR comparado con las detecciones de influenza (Gráfico 4, 5). La mayor proporción de casos de IRAG fue entre la población de <5 años de edad (Gráfico 4). Desde la SE 1 a la SE 46 de 2018, se reportaron menos

casos de IRAG (777 casos), así como de casos de IRAG asociados a influenza (22 casos) y fallecidos por IRAG (18 casos) que en la temporada previa. Durante la SE 46, las actividades de neumonía e IRA aumentaron y fueron ligeramente similares a los recuentos reportados en la temporada 2017 (Gráficos 6, 7).

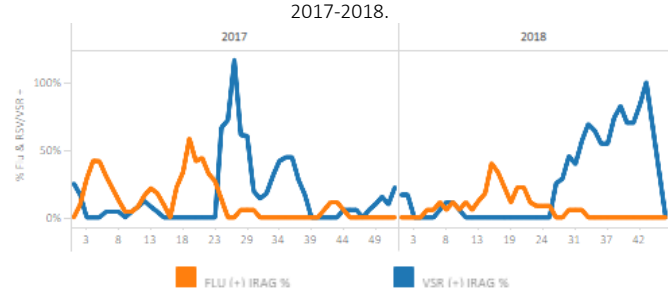
Graph 1. Guatemala. Influenza virus distribution EW 47, 2014-18
Distribución de influenza SE 47, 2014-18



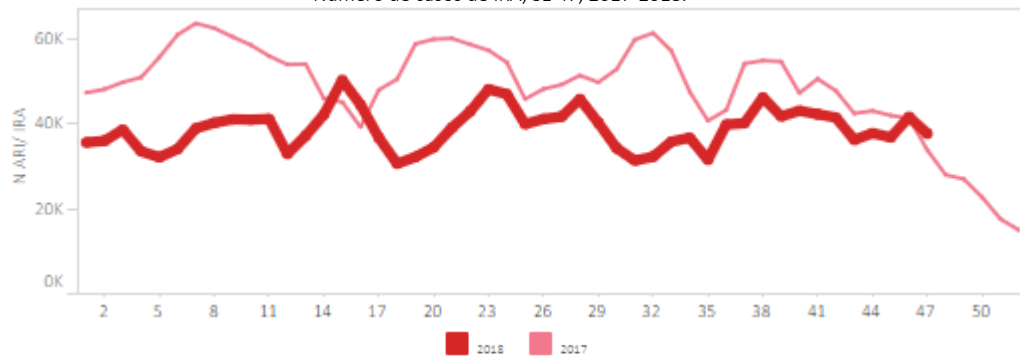
Graph 3. Guatemala: Percent positivity for influenza, EW 47, 2018 (in comparision to 2010-2017)
Porcentaje de positividad de influenza, SE 47, 2018 (en comparación con 2010-2017)



Graph 5. Guatemala: Percent positivity for influenza and RSV among SARI cases, EW 47, 2017-2018. /
Porcentaje de positividad de influenza y VSR entre los casos de IRAG, SE 47, 2017-2018.

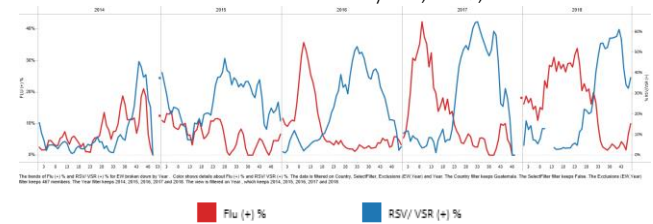


Graph 7. Guatemala: Number of ARI cases, EW 47, 2017-2018. /
Número de casos de IRA, SE 47, 2017-2018.



*To view more epi data, view [here](#). / Para ver mas datos epi, vea [aquí](#).

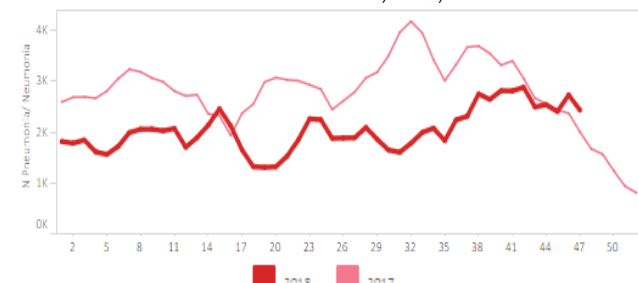
Graph 2. Guatemala: Influenza and RSV distribution, EW 47, 2014-18
Distribución de virus influenza y VSR, SE 47, 2014-18



Graph 4. Guatemala: Number of SARI cases, EW 47, 2017-2018. /
Número de casos IRAG, SE 47, 2017-2018.

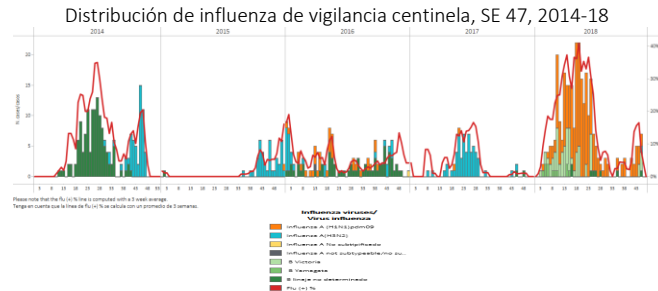


Graph 6. Guatemala: Number of pneumonia cases, EW 47, 2017-2018. /
Número de casos de neumonía, SE 47, 2017-2018.

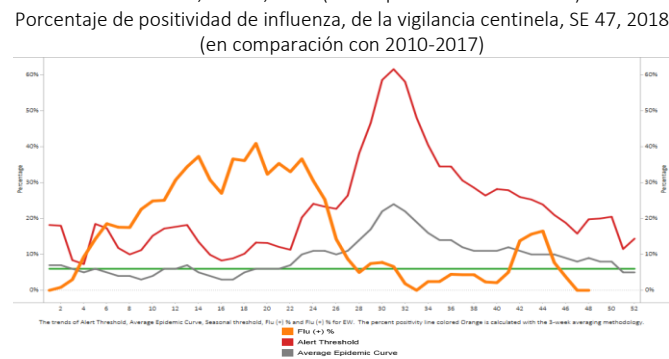


- During EW 47, at the sentinel sites, influenza activity slightly decreased below the seasonal threshold (Graph 3) with influenza B predominating (Graph 1); increased RSV activity was reported in the last month (Graph 2). The influenza positive cases were reported mainly from Cortes and Francisco Morazán departments and most cases were among children under 5 years of age. During EW 41, the counts of SARI cases and SARI-associated deaths decreases as compared to the previous weeks and remained lower than the levels of the 2012-2017 seasons (Graph 4). / Durante la SE 47 de 2018, en los sitios centinela, la actividad de influenza disminuyó ligeramente bajo el umbral estacional (Gráfico 3) con predominio de influenza A(H1N1)pdm09 (Gráfico 1); se reportó mayor actividad de VSR en el último mes (Gráfico 2). Los casos positivos de influenza fueron reportados principalmente en los departamentos de Cortés y Francisco Morazán, y la mayoría de los casos fueron en niños menores de 5 años de edad. Durante la SE 41, el recuento de casos de IRAG y de muertes asociadas a IRAG disminuyeron en comparación a las semanas previas y permanecieron menores a los niveles de las temporadas 2012-2017 (Gráfico 4).

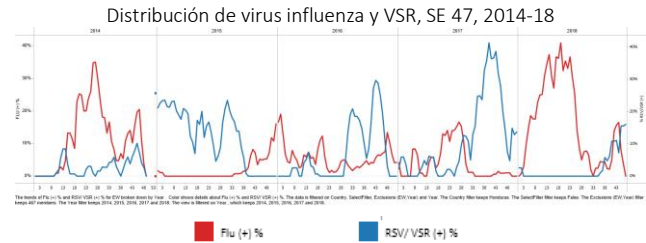
Graph 1. Honduras. Influenza virus distribution from sentinel surveillance, EW 47, 2014-18



Graph 3. Honduras : Percent positivity for influenza,from sentinel surveillance, EW 47, 2018 (in comparision to 2010-2017)



Graph 2. Honduras: Influenza and RSV distribution form sentinel surveillance, EW 47, 2014-18



Graph 4. Honduras: Number of SARI cases out of total hospitalizations, EW 41, 2012-2018. /

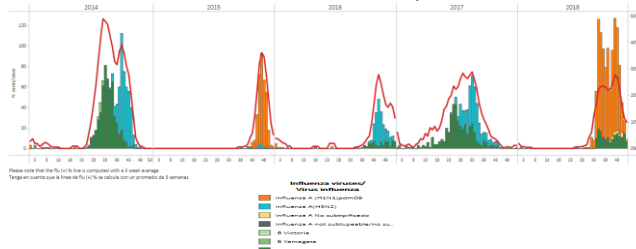
Número de casos IRAG de todas hospitalizaciones, SE 41, 2012-2018.



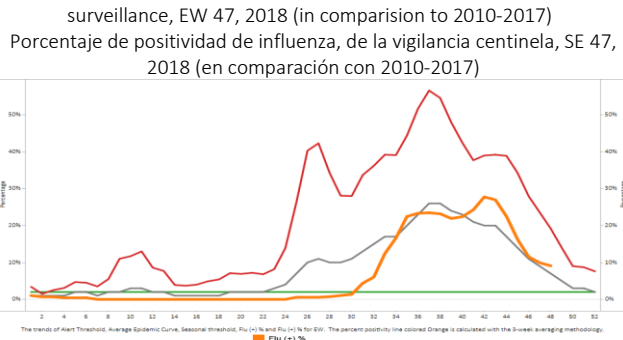
Nicaragua

- During the 2018 season, influenza activity was reported at low levels. From EW 29 to EW 47, influenza A(H1N1)pdm09 activity remained elevated above the seasonal levels and the average epidemic curve (Graph 1,3), and RSV activity slightly increased in the last two months (Graph 2). Since EW 29, pneumonia case counts increased and were higher as compared to the levels observed in 2014-2017 for the EW 42 to EW47 (Graph 4). The ARI case counts slightly decreased in EW 47 and were higher than the levels reported in 2014-2017 for the same period (Graph 5). / Durante la temporada 2018, la actividad de influenza se reportó a niveles bajos. Desde la SE 29 a la SE 47, la actividad de influenza A(H1N1)pdm09 permaneció elevada sobre los niveles estacionales y la curva epidémica promedio (Grafico 1), y la actividad de VSR aumentó ligeramente en los últimos dos meses (Gráfico 2). Desde la SE 29, el recuento de casos de neumonía aumentó y fue superior en comparación a los niveles observados en 2014-2017 para las SE 42 a 47 (Gráfico 4). Los recuentos de IRA disminuyeron ligeramente en la SE 47 y fueron superiores a los niveles reportados en 2014-2017 para el mismo período (Gráfico 5).

Graph 1. Nicaragua. Influenza virus distribution EW 47, 2014-18
Distribución de influenza SE 47, 2014-18

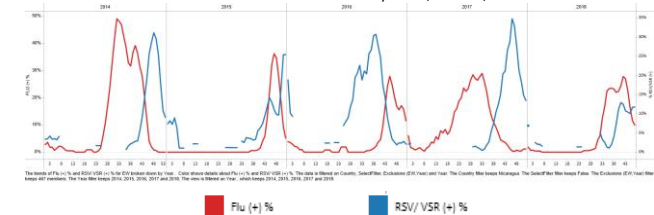


Graph 3. Nicaragua : Percent positivity for influenza,from sentinel surveillance, EW 47, 2018 (in comparision to 2010-2017)

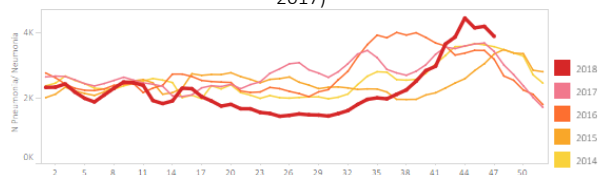


Porcentaje de positividad de influenza, de la vigilancia centinela, SE 47, 2018 (en comparación con 2010-2017)

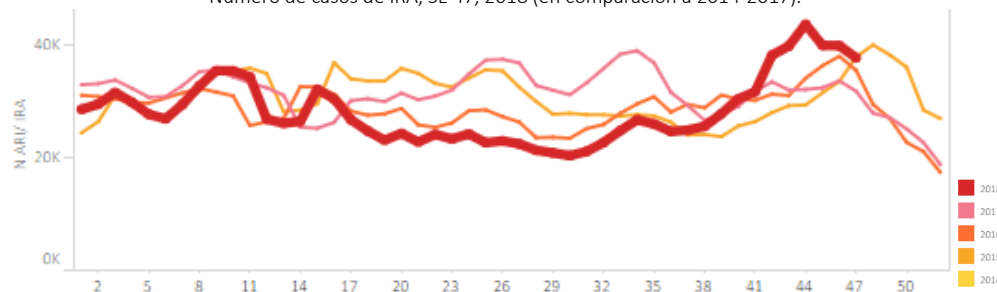
Graph 2. Nicaragua: Influenza and RSV distribution, EW 47, 2014-18
Distribución de virus influenza y VSR, SE 47, 2014-18



Graph 4. Nicaragua : Number of pneumonia cases, EW 47, 2018 (in comparison to 2014-2017) / Número de casos de neumonía, SE 47, 2018 (en comparación a 2014-2017)



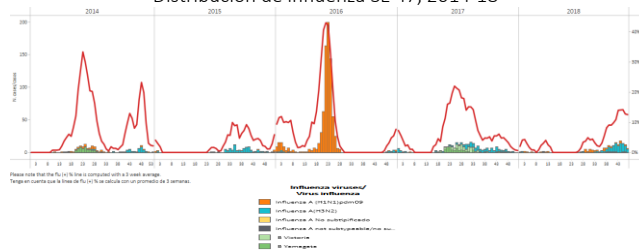
Graph 5. Nicaragua : Number of ARI cases, EW 47, 2018 (in comparison to 2014-2017) / Número de casos de IRA, SE 47, 2018 (en comparación a 2014-2017).



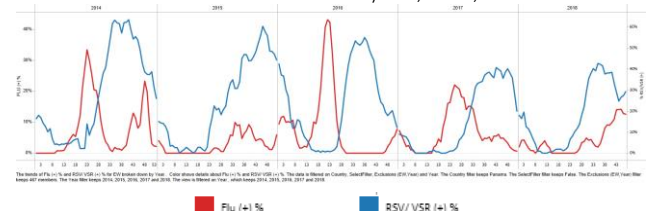
Panama

- During the 2018 season, at the national level, influenza activity remained at low levels. In EW 47, decreased influenza percent of positivity was reported with influenza A(H3N2) predominance (Graph 1). RSV detections slightly increased as compared to previous weeks (Graph 2). / Durante la temporada 2018, a nivel nacional, la actividad de influenza permaneció a niveles bajos. En la SE 47, se han reportado menor porcentaje de positividad de influenza con predominio de influenza A(H3N2) (Gráfico 1). Las detecciones de VSR aumentaron ligeramente respecto a las semanas previas (Gráfico 2).

Graph 1. Panama. Influenza virus distribution EW 47, 2014-18
Distribución de influenza SE 47, 2014-18



Graph 2. Panama: Influenza and RSV distribution, EW 47, 2014-18
Distribución de virus influenza y VSR, SE 47, 2014-18



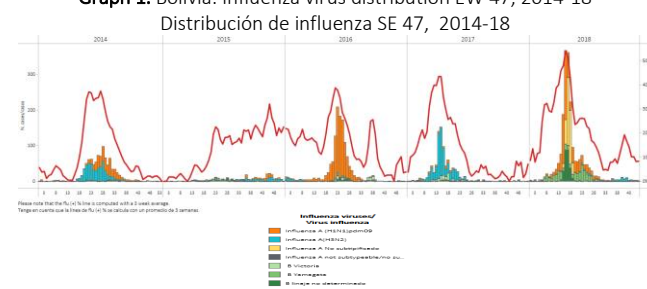
*To view more epi data, view [here](#). / Para ver mas datos epi, vea [aquí](#).

South America / América del Sur – Andean countries / Países andinos:

Bolivia

- During EW 47 and in recent weeks, at the national level, the percentage of SARI cases decreased from the previous weeks and was higher than the levels observed in the 2017 season for the same period (Graph 3); with RSV percent positivity among SARI cases higher than influenza positivity (Graph 4). Influenza activity slightly decreased from the previous week with influenza B and A(H3N2) co-circulating. RSV activity peaked during EW 29 with a downward slope since EW 33 (Graph 1, 2). In La Paz and Santa Cruz, in EW 47, the number of SARI cases decreased below the seasonal levels from previous weeks, with influenza B and A co-circulating. / Durante la SE 47 y en semanas recientes, a nivel nacional, el porcentaje de IRAG disminuyó respecto a semanas previas y fue mayor a los niveles observados en la temporada 2017 para el mismo período (Grafico 3); con un porcentaje de positividad de VSR entre los casos de IRAG mayor que la positividad de influenza (Gráfico 4). La actividad de influenza disminuyó ligeramente respecto a la semana previa con co-circulación de influenza B y A(H3N2) (Gráfico 1). La actividad del VRS llegó a su pico en la SE 29 con una pendiente descendente desde la SE 33 (Gráfico 2). En La Paz y en Santa Cruz, en la SE 47, el recuento de casos de IRAG disminuyó por debajo del nivel estacional en relación a semanas previas, con co-circulación de influenza B y A.

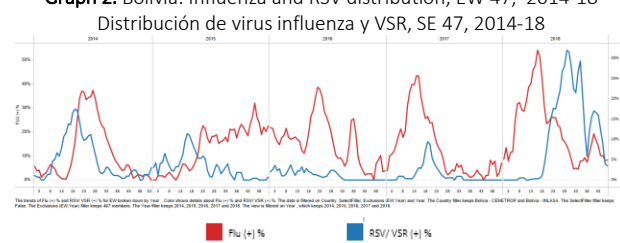
Graph 1. Bolivia. Influenza virus distribution EW 47, 2014-18



Graph 3. Bolivia: Percentage of SARI cases out of total hospitalizations, EW 47, 2018



Graph 2. Bolivia: Influenza and RSV distribution, EW 47, 2014-18



Graph 4. Bolivia: Percent positivity for influenza and RSV among SARI cases, EW 47, 2017-2018. /

Porcentaje de positividad de influenza y VSR entre los casos de IRAG, SE 47, 2017-2018.

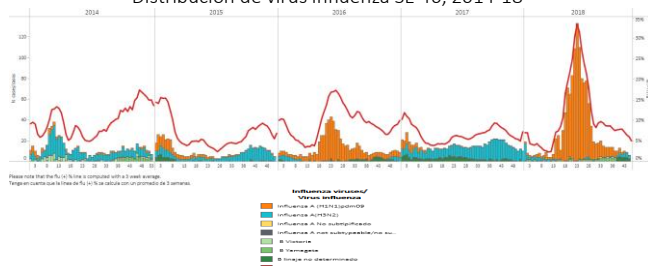


*To view more epi data, view [here](#). / Para ver más datos epi, vea [aquí](#).

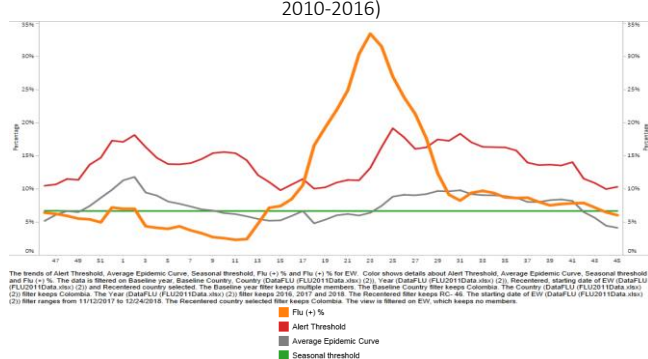
Colombia

- During EW 47, at national level, SARI case counts were lower as compared to the previous seasons for the same period and were below the seasonal threshold and the alert threshold (Graph 4). In EW 46, influenza activity decreased as compared to the previous weeks with influenza A(H3N2) and B co-circulating (Graphs 1, 3); while RSV percent positivity slightly decreased (Graph 2). During EW 47, pneumonia activity was at seasonal levels for the period and ARI activity increased above the alert threshold; both were similar as compared to the levels reported during the 2014-2017 seasons (Graph 5, 6). / En la SE 47, a nivel nacional, el número de casos de IRAG fue menor en comparación a las temporadas previas para el mismo período, y se situaron por debajo del umbral estacional y de alerta (Grafico 4). Durante la SE 46, la actividad de influenza disminuyó en comparación a las semanas anteriores con circulación de influenza A(H3N2) y B (Gráficos 1, 3); en tanto la positividad de VSR disminuyó ligeramente (Gráfico 2). Durante la SE 47, la actividad de neumonía se ubicó en niveles estacionales para el período y la actividad de IRA aumentó sobre el umbral de alerta; ambos fueron similares en comparación a los niveles reportados durante las temporadas de 2014-2017 (Gráficos 5, 6).

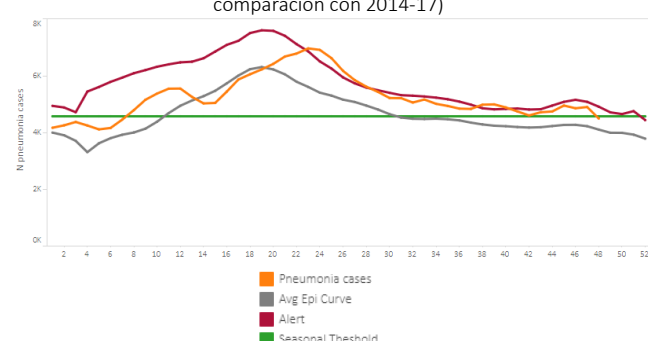
Graph 1. Colombia. Influenza virus distribution EW 46, 2014-18
Distribución de virus influenza SE 46, 2014-18



Graph 3. Colombia: Percent positivity for influenza, EW 46, 2017-18 (in comparision to 2010-2016)
Porcentaje de positividad de influenza, SE 46, 2017-18 (en comparación a 2010-2016)



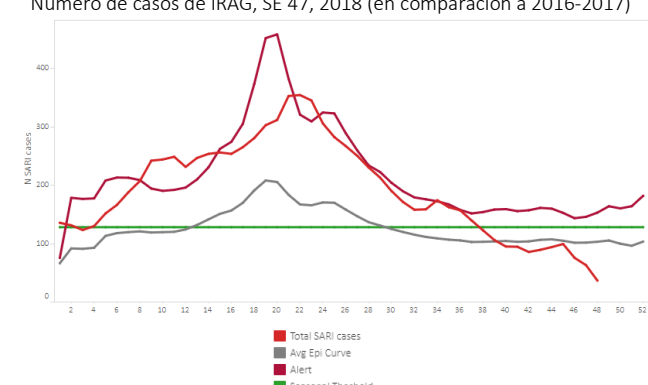
Graph 5. Colombia: Number of pneumonia-related hospitalizations, by EW 47, 2018 (in comparison with 2014-17)
Número de hospitalización asociado a neumonía, por SE 47, 2018 (en comparación con 2014-17)



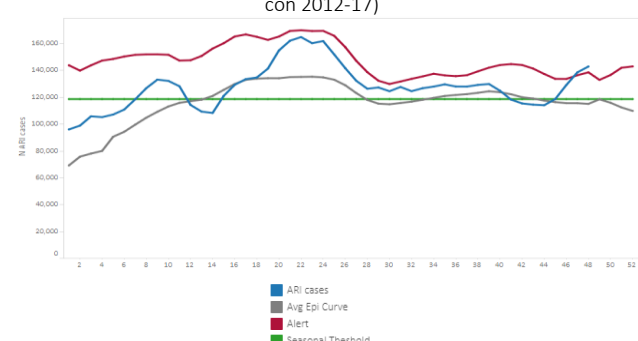
Graph 2. Colombia: Influenza and RSV distribution, EW 46, 2014-18
Distribución de virus influenza y VSR, SE 46, 2014-18



Graph 4. Colombia: Number of SARI cases, EW 47, 2018 (in comparison to 2016-2017)
Número de casos de IRAG, SE 47, 2018 (en comparación a 2016-2017)



Graph 6. Colombia: Number of ARI cases, EW 47 (from all consultations), (in comparison with 2012-17)
Número de los casos IRA, SE 47 (de todas consultas), (en comparación con 2012-17)

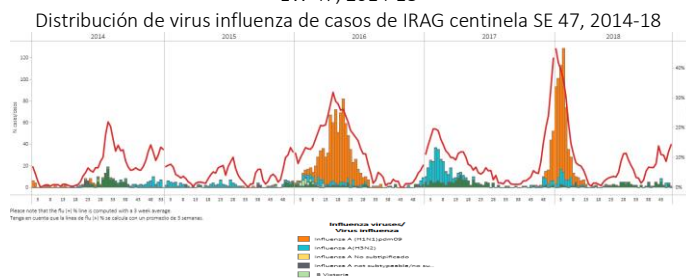


*To view more epi data, view [here](#). / Para ver mas datos epi, vea [aquí](#).

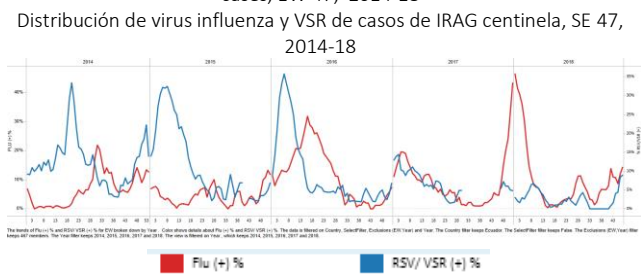
Ecuador

- During EW 45, at national level, the proportion of SARI cases, the ICU admissions and deaths proportions among all hospitalizations decreased from previous weeks and remained similar to the levels observed during the 2016 -2017 seasons for the same period (Graph 4). During EW 47, influenza activity increased as compared to the previous weeks above the seasonal threshold, with influenza B and A(H3N2) co-circulating (Graph 2). Influenza percent positivity was lower than the levels reported during the prior season for the same period, with increased RSV activity (Graph 1, 2). / Durante la SE 45, a nivel nacional, la proporción de casos de IRAG, admisiones a UCI y fallecidos sobre el total de hospitalizaciones disminuyó en relación a semanas previas y se mantuvo similar a los niveles observados durante 2016-2017 para el mismo período (Gráfico 4). En la SE 47, la actividad de influenza aumentó en comparación con las semanas previas sobre el umbral estacional, con co-circulación de influenza B y A(H3N2) (Gráfico 2). El porcentaje de positividad de influenza fue menor a los niveles registrados en la temporada previa para el mismo período, con baja actividad de VSR (Gráficos 1, 2).

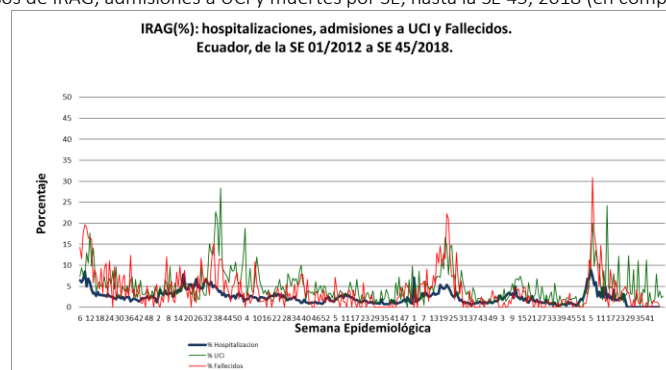
Graph 1. Ecuador IRAG: Influenza virus distribution from SARI sentinel cases by EW 47, 2014-18



Graph 2. Ecuador IRAG: Influenza and RSV distribution from SARI sentinel cases, EW 47, 2014-18



Graph 4. Ecuador: Proportion of SARI cases, ICU admissions and deaths by EW, as of EW 45, 2018 (compared to 2012-2017)
Proporción de casos de IRAG, admisiones a UCI y muertes por SE, hasta la SE 45, 2018 (en comparación a 2012-2017)



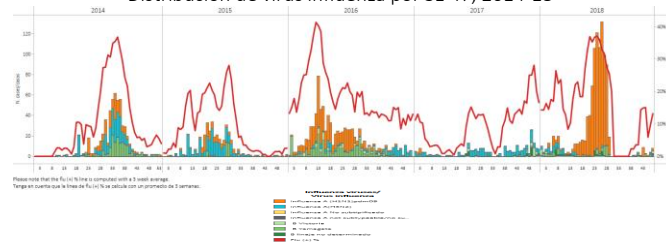
*To view more epi data, view [here](#). / Para ver mas datos epi, vea [aquí](#).

Peru

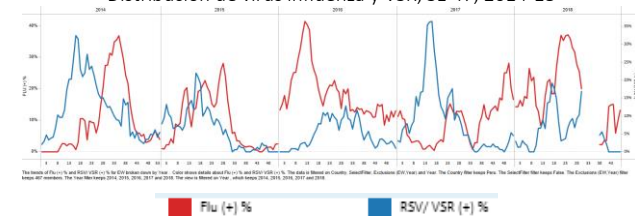
- During EW 47, at national level, SARI case counts among all hospitalizations remained at similar levels from previous weeks and remained higher than the 2015-2017 seasons for the same period (Graph 4). In EW 47, influenza activity increased below the alert threshold, with influenza A(H1N1)pdm09 and B circulating in recent weeks (Graph 1,3). No RSV detections were reported in EW 47, and RSV positivity was lower than levels observed in 2017 for the same period (Graph 2). During SE 47, at the national level, ARI case counts among the under 5 years of age population slightly decreased and were similar to the levels observed in 2016-2017 for the same period (Graph 5). Likewise, the pneumonia case counts in infants under 5 years of age slightly decreased and was higher than the counts reported in 2016-2017 for the same period (Graph 6). During EW 46, 16 departments reported pneumonia cumulative cases among the under 5 years of age children higher than the median of the 2013-2017 seasons for the same period: Amazonas, Ancash, Apurimac, Arequipa, Callao, Cusco, Huanuco, La Libertad, Lima, Madre de Dios, Moquegua, Pasco, Puno, Tacna, Tumbes and Ucayali*. / En la SE 47, a nivel nacional, el número de casos de IRAG entre el total de hospitalizaciones permaneció similar a los niveles de semanas previas y se mantuvo superior a lo observado en las temporadas 2015-2017 para el mismo período (Gráfico 4). Durante la SE 47, la actividad de influenza aumentó bajo el umbral de alerta, con circulación de influenza A(H1N1)pdm09 y B en semanas previas (Gráficos 1,3). No se reportaron detecciones de VSR en la SE 46, y la positividad de VSR fue menor a los niveles observados en 2017 para el mismo período (Gráfico 2). Durante la SE 47, a nivel nacional, el recuento de casos de IRA en la población de menores de 5 años disminuyó ligeramente y fue similar a los niveles observados en 2016-2017 para el mismo período (Gráfico 5). Así mismo, el recuento de casos de neumonía en niños menores de 5 años disminuyó ligeramente y fue superior a los recuentos reportados en 2016-2017 para el mismo período (Gráfico 6). Durante la SE 46, 16 departamentos reportaron recuento de casos de neumonía en niños menores de 5 años superior a la mediana de las temporadas 2013-2017 para el mismo período: Amazonas, Ancash, Apurimac, Arequipa, Callao, Cusco, Huanuco, La Libertad, Lima, Madre de Dios, Moquegua, Pasco, Puno, Tacna, Tumbes y Ucayali *

*Online report/ informe de línea

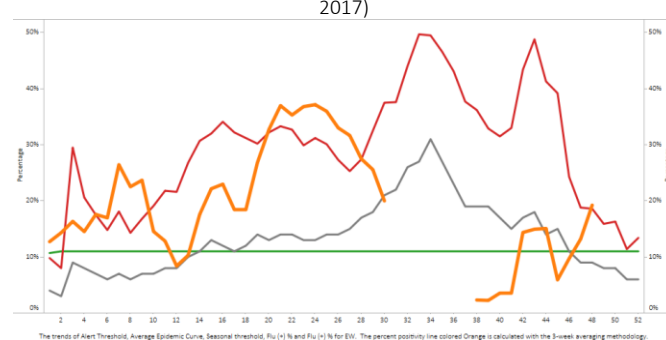
Graph 1. Peru: Influenza virus distribution by EW 47, 2014-18
Distribución de virus influenza por SE 47, 2014-18



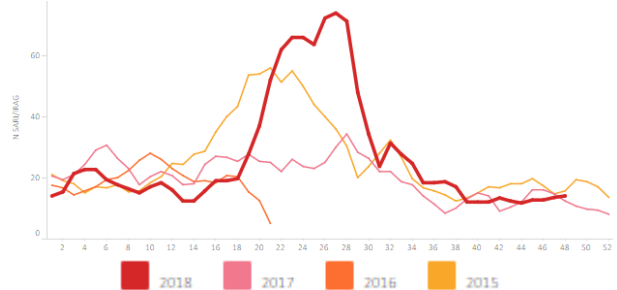
Graph 2. Peru: Influenza and RSV distribution, EW 47, 2014-18
Distribución de virus influenza y VSR, SE 47, 2014-18



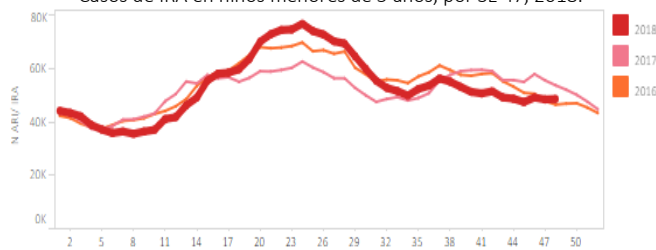
Graph 3. Perú: Percent positivity for influenza, EW 47, 2018 (in comparision to 2010-2017)
Porcentaje de positividad de influenza, SE 47, 2018 (en comparación a 2010-2017)



Graph 4. Peru: Number of SARI cases, by EW 47, 2018
Número de casos IRAG, por SE 47, 2018



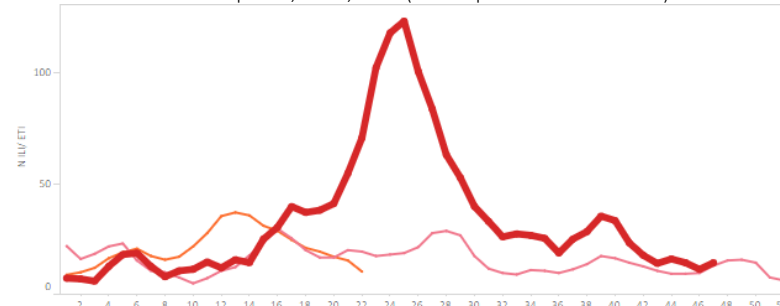
Graph 5. Peru. ARI cases in children under 5 years, by EW 47, 2018
Casos de IRA en niños menores de 5 años, por SE 47, 2018.



Graph 6. Peru: Pneumonia cases in children under 5 years, by EW 47, 2018
Casos de neumonía en niños menores de 5 años, por SE 47, 2018



Graph 7. Peru: ILI cases, by EW, EW 47, 2018 (in comparison to 2015-2017)
Casos de ETI por SE, SE 47, 2018 (en comparación a 2015-2017)

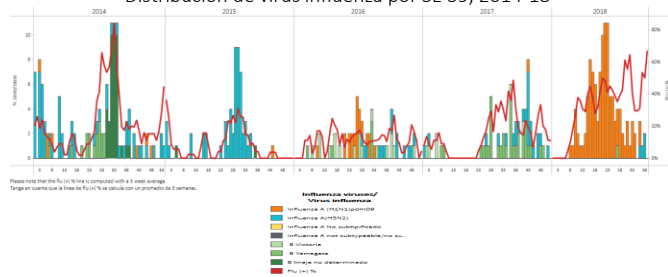


*To view more epi data, view [here](#). / Para ver mas datos epi, vea [aquí](#).

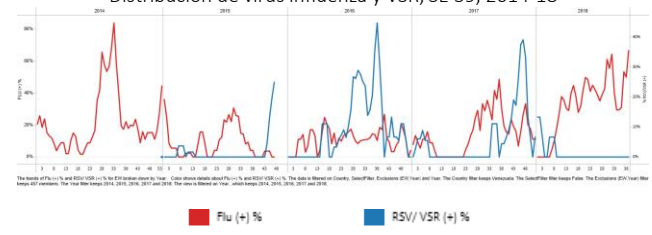
Venezuela

- During EW 39, influenza activity increased with influenza A(H1N1)pdm09 predominating, and few detections of influenza A(H3N2) (Graph 1, 2). Up to EW 39, no RSV detections were reported. / En la SE 39, la actividad de influenza aumentó con predominio de influenza A(H1N1)pdm09, y escasas detecciones de influenza A(H3N2) (Gráficos 1, 2). A la SE 39, no se reportaron detecciones por VSR (Gráfico 2).

Graph 1. Venezuela: Influenza virus distribution by EW 39, 2014-18
Distribución de virus influenza por SE 39, 2014-18



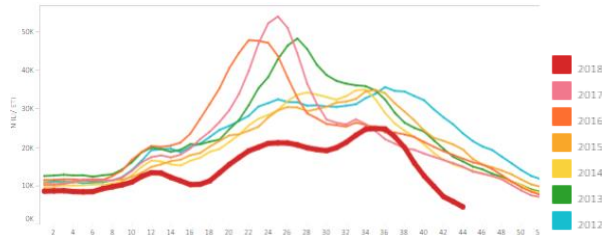
Graph 2. Venezuela: Influenza and RSV distribution, EW 39, 2014-18
Distribución de virus influenza y VSR, SE 39, 2014-18



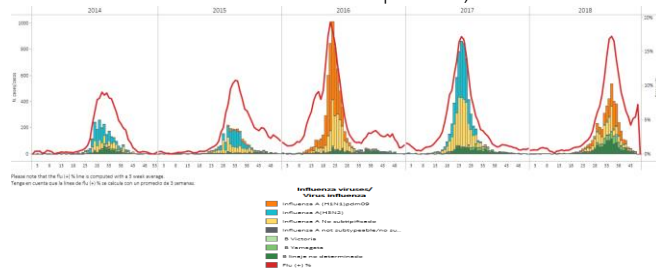
Argentina

- During EW 44 and EW 46, at national level, the counts of SARI and pneumonia cases respectively, decreased and were lower than the 2012-2017 seasons for the same period (Graph 2, 6). During EW 44, ILI activity was also low for the period (Graph 1). During EW 45, influenza activity decreased as compared with the previous weeks with overall few samples tested (Graphs 3, 5). RSV positivity decreased and was similar to the levels reported during the previous season for the same period (Graph 4). During EW 1-42, 2018, 81 influenza-associated deaths were reported, lower than the levels observed during the 2017 season for the same period (114 influenza-associated deaths), mostly among the 60 years of age population and older and with risk factors (70%). / Durante la SE 44 y la SE 46, a nivel nacional los recuentos de IRAG y neumonía respectivamente, disminuyeron y fueron menores que durante las temporadas 2012-2017 para el mismo período (Gráficos 2, 6). Durante la SE 44, la actividad de ETI fue baja para el período (Gráfico 1). Durante la SE 45, la actividad de influenza disminuyó en comparación con semanas previas, con recuento bajo de muestras estudiadas (Gráficos 3, 5). El porcentaje de positividad para VSR disminuyó y fue similar a lo registrado en la temporada previa para el mismo período (Gráficos 4). Durante las SE 1-42 de 2018, se reportaron 81 fallecidos asociados a influenza, menor a los niveles observados durante la temporada 2017 para el mismo período (114 muertes asociadas a influenza), en su mayoría entre la población de 60 años de edad y más, y con factores de riesgo (70%).

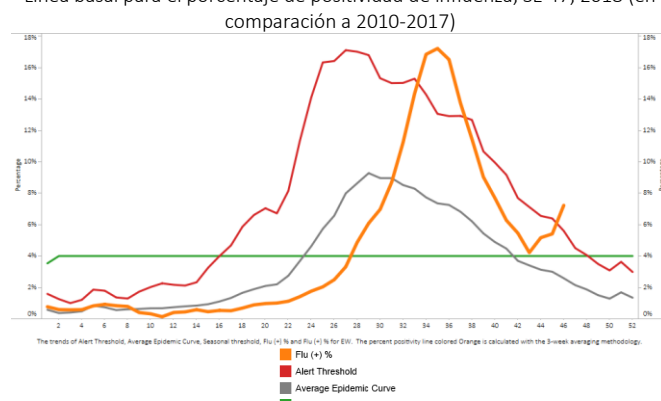
Graph 1. Argentina. Number of ILI cases from national surveillance by EW, EW 1-44, 2018 (compared to 2012-2017) / Número de casos de ETI de vigilancia nacional, SE 1- 44, 2018 (en comparación a 2012-2017)



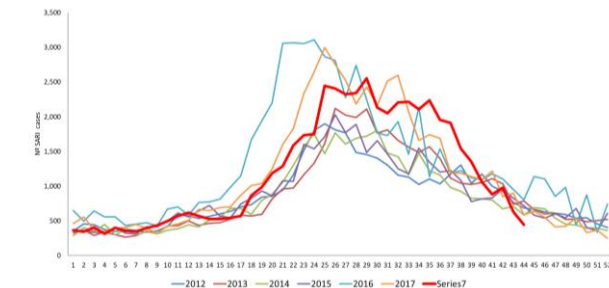
Graph 3. Argentina. Influenza virus distribution by EW 45, 2014-18
Distribución de virus influenza por SE 45, 2014-18



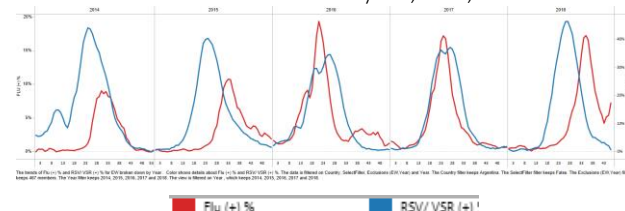
Graph 5. Argentina: Baseline for the percent positivity for influenza, EW 47, 2018 (in comparision to 2010-2017)
Línea basal para el porcentaje de positividad de influenza, SE 47, 2018 (en comparación a 2010-2017)



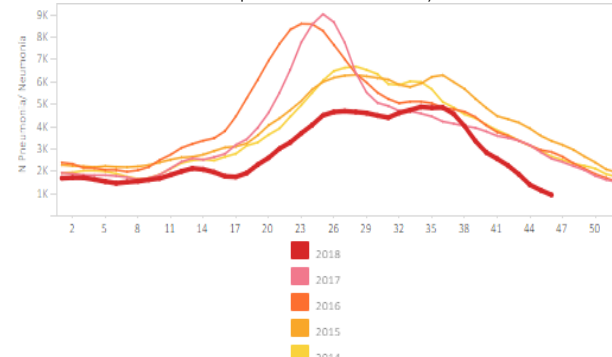
Graph 2. Argentina. Number of SARI cases from national surveillance by EW, EW 1-44, 2018 (compared to 2012-2017) / Número de casos de IRAG de vigilancia nacional, SE 1- 44, 2018 (en comparación a 2012-2017)



Graph 4. Argentina: Influenza and RSV distribution, EW 45, 2014-18
Distribución de virus influenza y VSR, SE 45, 2014-18

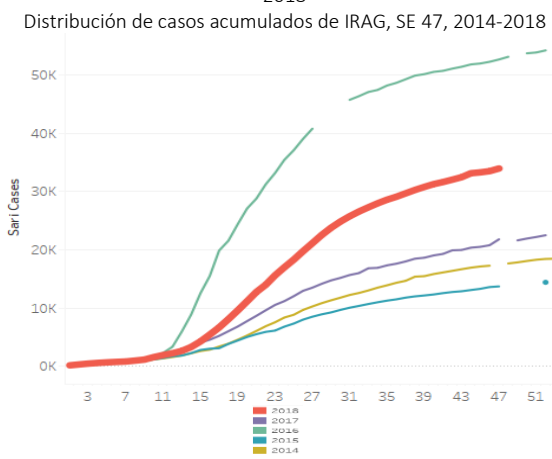


Graph 6. Argentina. Number of pneumonia cases from national surveillance by EW, EW 1-46, 2018 (compared to 2012-2017) / Número de casos de neumonía de vigilancia nacional, SE 1- 46, 2018 (en comparación a 2012-2017)

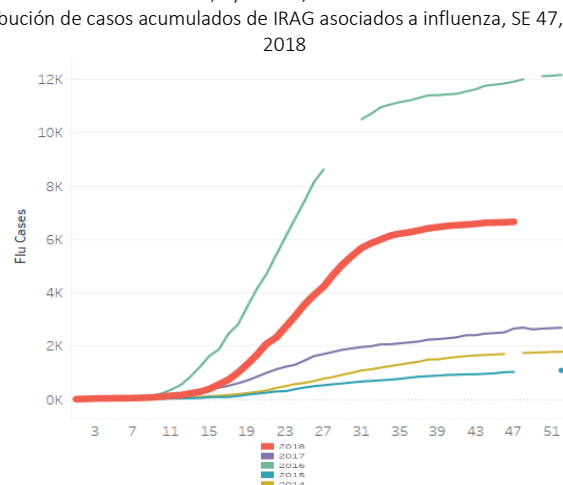


- In Brazil, during EW 47, cumulative SARI hospitalizations and deaths increased and were lower than in 2016 but higher than the other seasons for the same period (Graphs 1,2). During EW 47, the SARI case counts out of all hospitalizations were lower than in previous weeks and the 2015-2017 seasons (Graph 10). The cumulative number of influenza-associated SARI cases and SARI deaths were higher than the counts reported in 2017 and less than in 2016 (Graph 3, 4). During EW 47, a slight decrease in the detection of influenza positive cases was reported by the three NICs with influenza B predominating; RSV detections decreased in recent weeks as well (Graph 5-9). During EW 47, 11 states reported higher cumulative influenza-associated SARI/ILI case counts than the historic average 2014-2017 (>1 standard deviation above): Alagoas, Bahia, Ceará, Goiás, Maranhao, Paraíba, Pernambuco, Piauí, Rio Grande do Norte, Sergipe and Tocantins (Graph 11). In EW 47, 10 states reported higher cumulative influenza-associated SARI/ILI deaths counts than the historic average 2014-2017 (>1 standard deviation above): Bahia, Ceará, Goiás, Maranhao, Paraíba, Pernambuco, Piauí, Rio Grande do Norte, Sergipe and Tocantins (Graph 12). / En Brasil, en la SE 47, las hospitalizaciones y los casos fallecidos por IRAG acumulados aumentaron y fueron menores que en 2016 pero superiores a las restantes temporadas para el mismo período (Gráficos 1, 2). Durante la SE 47, el recuento de casos de IRAG sobre el total de hospitalizaciones fue menor que las semanas previas y las temporadas 2015-2017 para el mismo período (Gráfico 10). El número acumulado de casos de IRAG por influenza y de casos fallecidos asociados a influenza fueron superiores a los recuentos de 2017 y menores a los recuentos reportados en 2016 (Gráficos 3, 4). En la semana 47, se ha detectado un ligero descenso de los casos positivos de influenza reportados por los tres NICs, con predominio de influenza B; las detecciones de VSR disminuyeron en las últimas semanas también (Gráficos 5-9). Durante la SE 47, 11 estados reportaron elevados recuentos acumulados de IRAG/ETI asociados a influenza en comparación al promedio histórico 2014-2017 (>1 desviación estándar arriba): Alagoas, Bahia, Ceará, Goiás, Maranhao, Paraíba, Pernambuco, Piauí, Rio Grande do Norte, Sergipe y Tocantins (Gráfico 11). En la SE 47, 10 estados reportaron elevados recuentos acumulados de fallecidos por IRAG/ETI asociados a influenza en comparación al promedio histórico 2014-2017 (>1 desviación estándar arriba): Bahia, Ceará, Goiás, Maranhao, Paraíba, Pernambuco, Piauí, Rio Grande do Norte, Sergipe y Tocantins (Gráfico 12).

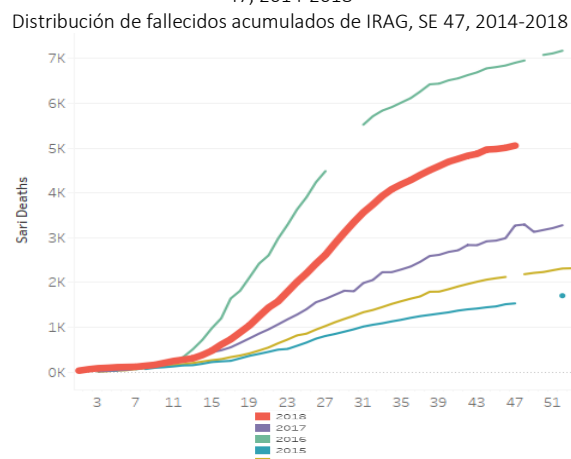
Graph 1. Brazil. Distribution of cumulative SARI-related cases, by EW 47, 2014-2018



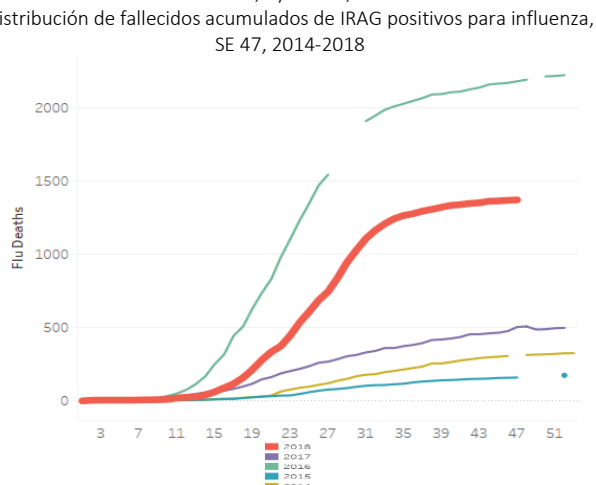
Graph 3. Brazil. Distribution of cumulative influenza-associated SARI-related cases, by EW 47, 2014-2018



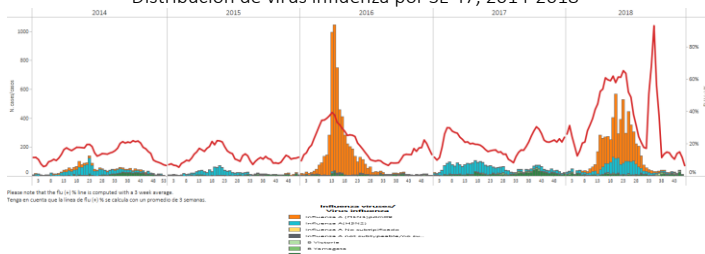
Graph 2. Brazil. Distribution of cumulative SARI-related deaths, by EW 47, 2014-2018



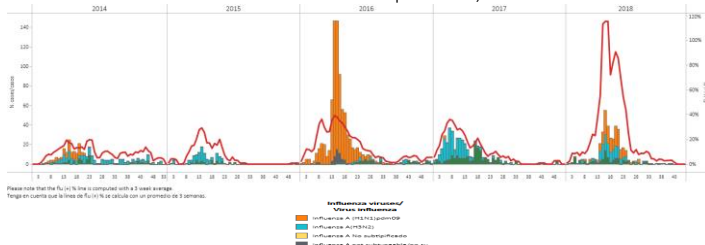
Graph 4. Brazil. Distribution of cumulative influenza-positive SARI-related deaths, by EW 47, 2014-2018



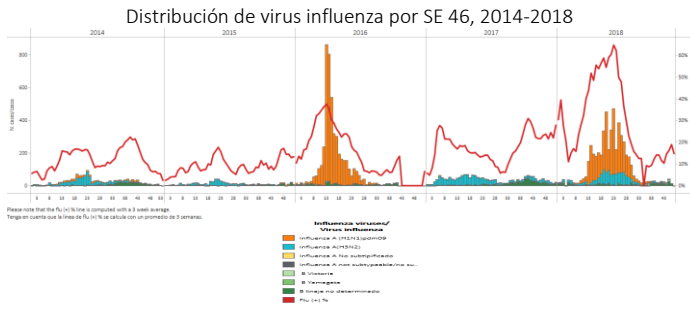
Graph 5. Brazil- All NICs. Influenza virus distribution by EW 47, 2014-2018
Distribución de virus influenza por SE 47. 2014-2018



Graph 7. Brazil - NIC IEC. Influenza virus distribution by EW 47, 2014-2018
Distribución de virus influenza por SE 47, 2014-2018

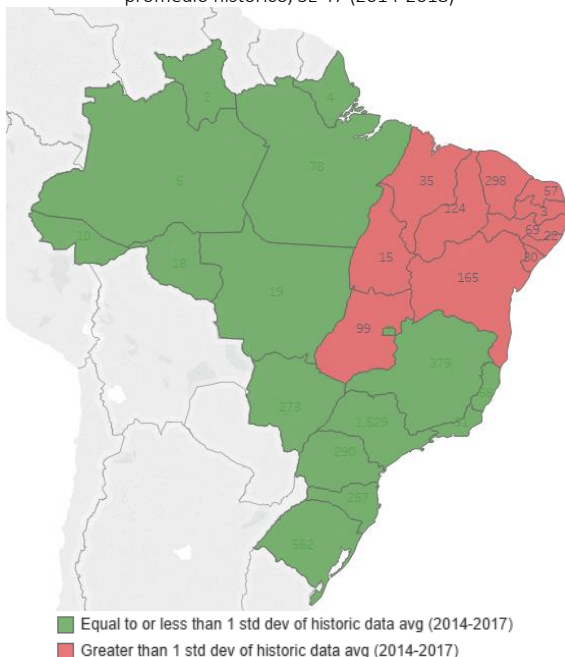


Graph 9. Brazil- NIC Adolfo Lutz. Influenza virus distribution by EW 46, 2014-2018

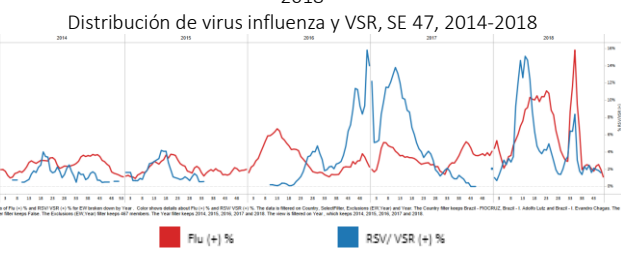


Graph 11. Brazil: Cumulative counts of influenza-associated SARI cases greater than historic average, FW 47 (2014-2018)

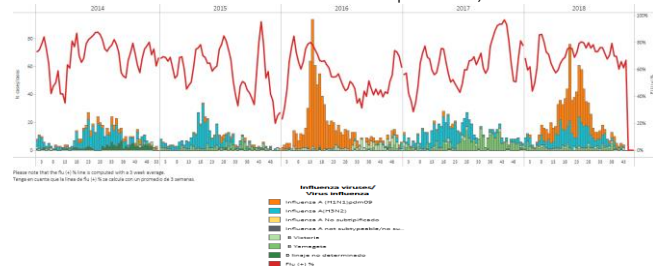
Recuentos acumulados de casos de IRAG asociados a influenza mayor al promedio histórico, SE 47 (2014-2018)



Graph 6. Brazil – All NICs: Influenza and RSV distribution, EW 47, 2014–2018

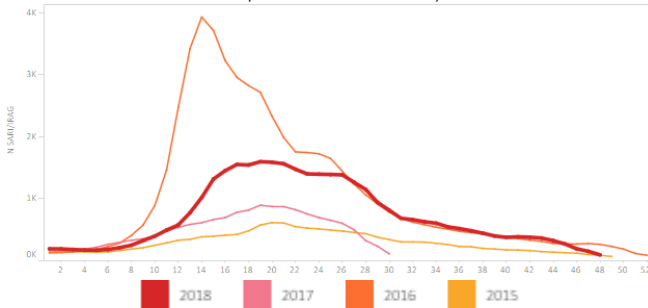


Graph 8. Brazil- NIC FIOCRUZ. Influenza virus distribution by EW 43, 2014-2018 Distribución de virus influenza por SE 43, 2014-2018



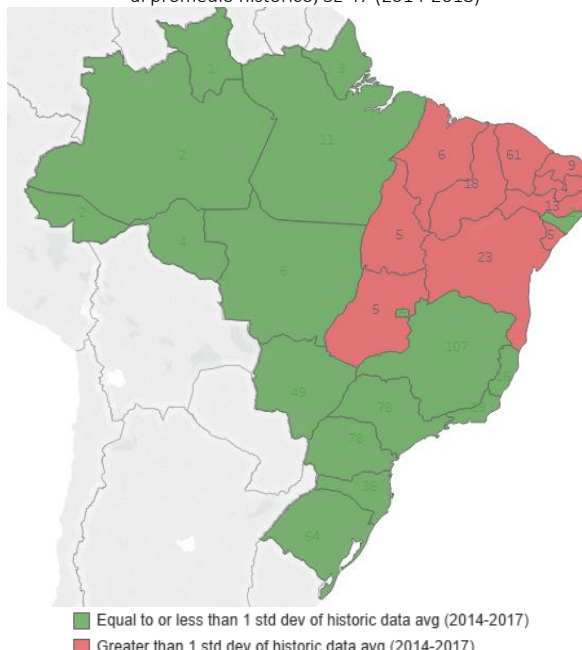
Graph 10. Brazil: Number of SARI cases out of all hospitalizations, by EW 47, 2018 (in comparison with 2015-17)

Número de casos IRAG de todas las hospitalizaciones, por SE 47, 2018 (en comparación con 2015-17)



Graph 12. Brazil: Cumulative count of influenza-associated SARI deaths greater than historic average, FW 47 (2014-2018)

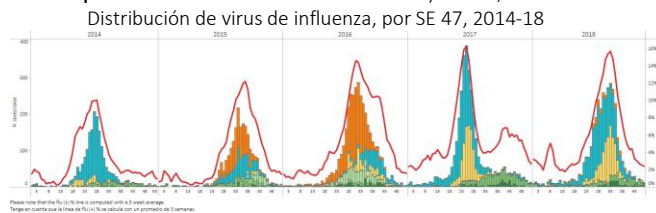
Recuentos acumulados de fallecidos por IRAG asociados a influenza mayor al promedio histórico, SE 47 (2014-2018)



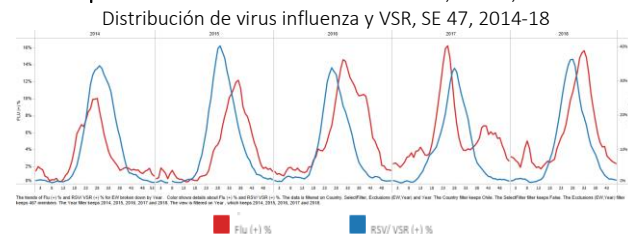
Chile

- During EW 47, at national level, the SARI cases slightly increased from the previous weeks to the seasonal levels observed during 2015-2017 for the same period (Graph 4); while ILI activity decreased above the average epidemic curve (Graph 5). In EW 47, influenza activity decreased and remained at the historic average, with influenza B predominating (Graphs 1,3). RSV percent positivity peaked in EW 29 with a downward slope in EW 47, similar to the levels reported in 2017 for the same period (Graph 2). / Durante la SE 47, a nivel nacional, los casos de IRAG aumentaron ligeramente respecto a las semanas previas hasta los niveles estacionales observados durante 2015-2017 para el mismo período (Gráfico 4), mientras que la actividad de ETI disminuyó sobre la curva epidémica promedio (Gráfico 5). En la SE 47, la actividad de influenza disminuyó y permaneció en el promedio histórico, con predominio de influenza B (Gráficos 1, 3). El porcentaje de positividad de VSR presentó su pico en la SE 29 con una pendiente en descenso en SE 47, similar a los niveles reportados en 2017 para el mismo período (Gráfico 2).

Graph 1. Chile: Influenza virus distribution by EW 47, 2014-18

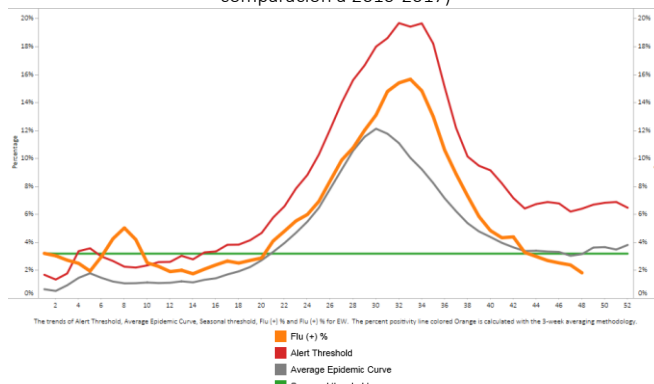


Graph 2. Chile: Influenza and RSV distribution, EW 47, 2014-18

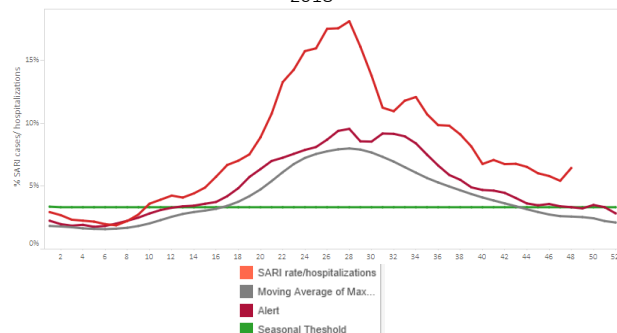


Graph 3. Chile: Baseline for the percent positivity for influenza, EW 47, 2018 (in comparison to 2010-2017)

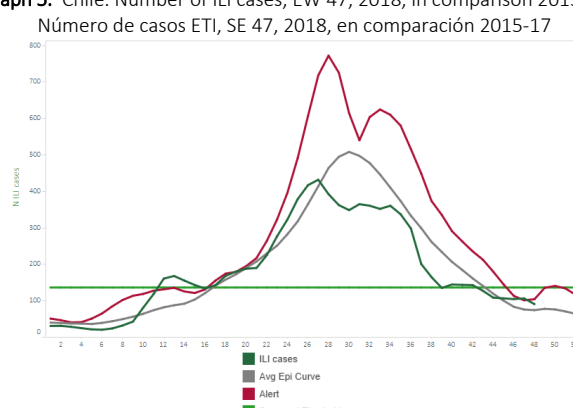
Línea basal para el porcentaje de positividad de influenza, SE 47, 2018 (en comparación a 2010-2017)



Graph 4. Chile. Percent of SARI cases from all hospitalizations, EW 47, 2015-2018, Porcentaje de casos IRAG por las hospitalizaciones totales, SE 47, 2015-2018



Graph 5. Chile. Number of ILI cases, EW 47, 2018, in comparison 2015-17



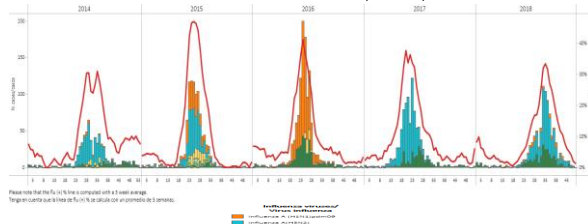
*To view more epi data, view [here](#). / Para ver mas datos epi, vea [aquí](#).

Paraguay

- During EW 47, at national level, the SARI cases continued above the alert threshold (Graph 5), with a predominance among the under 5 and above 60 years of age population. In EW 47, the percent of SARI deaths out of total deaths decreased from the prior week (Graph 6) with 70% of associated comorbidities and among the 60 years of age and older. A total of 45 influenza-associated SARI deaths were reported during 2018, slightly higher than the levels observed in the previous season for the same period (34 cases). ILI activity remained above the seasonal levels and peaked later than in

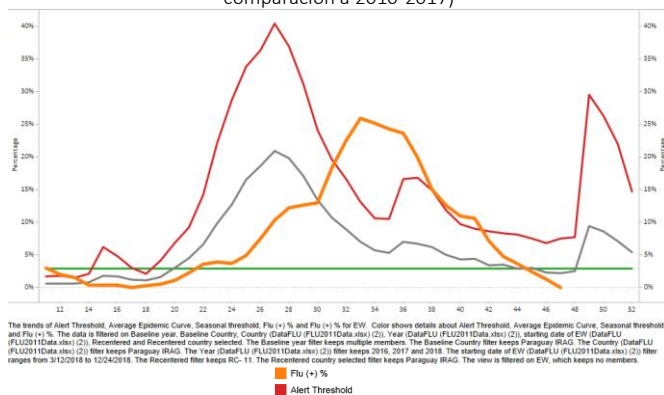
the previous 2016-2017 seasons (Graph 4). In EW 47, influenza activity decreased from the previous weeks with predominance of influenza A(H3N2) (Graphs 1, 3); RSV positivity decreased (Graph 2). / Durante la SE 47, a nivel nacional, los casos de IRAG continuaron por encima del umbral de alerta (Gráfico 5), con predominio entre la población menor de 5 años y mayor de 60 años. En la SE 47, el porcentaje de muertes por IRAG del total de muertes disminuyó en relación a la semana previa (Gráfico 6) con 70% de comorbilidades asociadas y entre los mayores de 60 años. Durante 2018 se informó un total de 45 muertes por IRAG asociadas a influenza, ligeramente superiores a los niveles observados en la temporada anterior para el mismo período (34 casos). La actividad de ETI permaneció sobre los niveles estacionales y alcanzó su punto máximo más tarde que en temporadas anteriores de 2016-2017 (Gráfico 4). En la SE 47, la actividad de influenza disminuyó respecto a las semanas previas con predominio de influenza A(H3N2) (Gráficos 1, 3); la positividad de VSR disminuyó (Gráfico 2).

Graph 1. Paraguay: Influenza virus distribution EW 47, 2014-18
Distribución de virus de influenza, SE 47, 2014-18



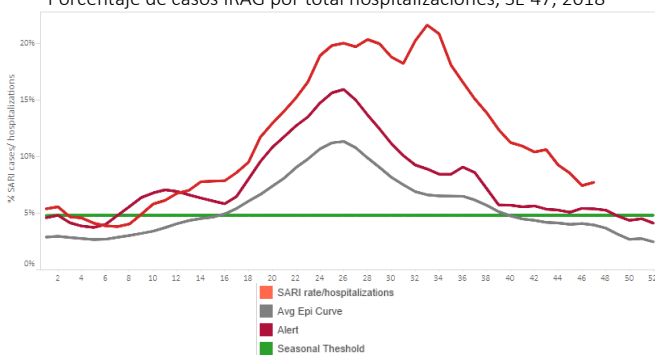
Graph 3. Paraguay SARI sentinel sites: Baseline for the percent positivity for influenza, EW 47, 2018 (in comparison to 2010-2017)

Línea basal para el porcentaje de positividad de influenza, SE 47, 2018 (en comparación a 2010-2017)

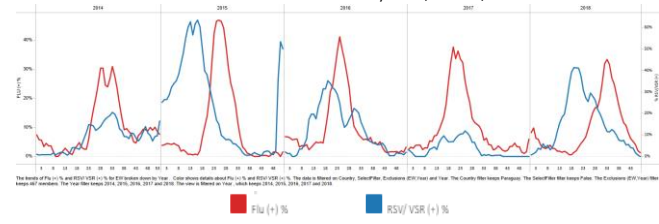


Graph 5. Paraguay: Percent of SARI cases per total hospitalizations, EW 47, 2018

Porcentaje de casos IRAG por total hospitalizaciones, SE 47, 2018

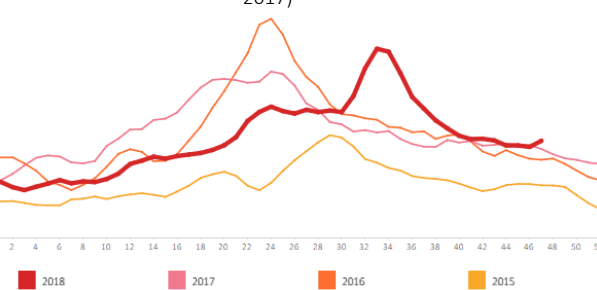


Graph 2. Paraguay: Influenza and RSV distribution, EW 47, 2014-18
Distribución de virus influenza y VSR, SE 47, 2014-18



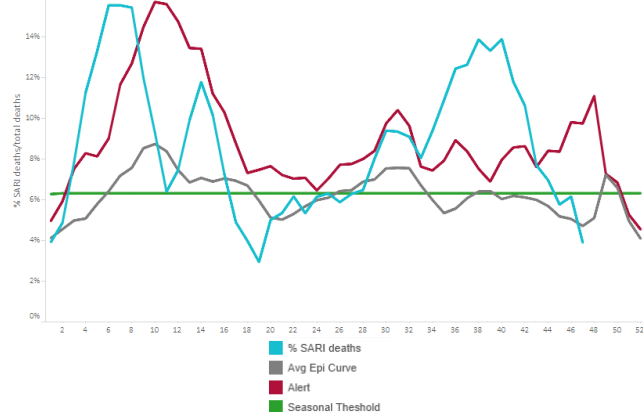
Graph 4. Paraguay: Proportion of ILI consultations, EW 47, 2018 (as compared to 2015-2017)/

Proporción de consultas por ETI, SE 47, 2018 (en comparación a 2015-2017)



Graph 6. Paraguay: Percent of SARI deaths per total deaths, EW 47, 2018.

Porcentaje de fallecidos por IRAG, SE 47, 2018

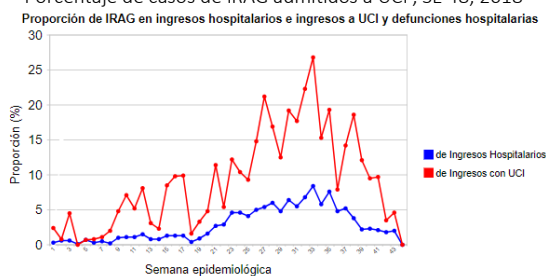


*To view more epi data, view [here](#). / Para ver mas datos epi, vea [aquí](#).

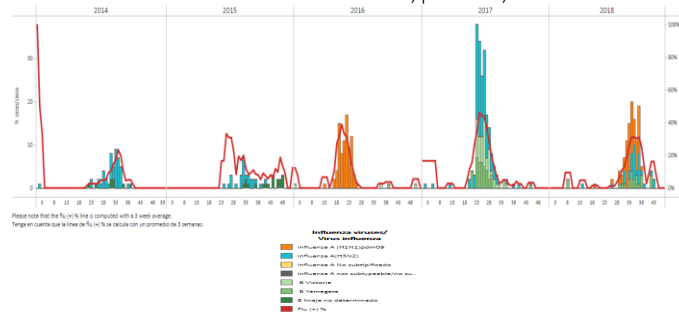
Uruguay

- In EW 47, decreased influenza activity was reported (Graphs 3, 4); with decreased RSV positivity (Graph 2). During EW 41 to 48, the proportion of SARI cases among all hospitalizations, the proportion of SARI case requiring ICU admission and the proportion of SARI-associated cases decreased from previous weeks (Graph 1, 5). During EW 40, 2018, the cumulative influenza-positive SARI cases that required ICU (21) were similar to the previous season, while there was no influenza-positive SARI-associated death reported, as compared to the previous season (with 2 influenza-positive SARI deaths). Likewise, all the SARI deaths and 34% of the SARI cases requiring UCI, reported at least one risk factor. / Durante la SE 47, se reportó menor actividad de influenza (Gráficos 3, 4); con positividad de VSR disminuida (Gráfico 2). Durante las SE 41 a 48, la proporción de casos de IRAG del total de hospitalizaciones, la proporción de casos de IRAG con admisión a UCI y la proporción de fallecidos por IRAG disminuyeron en relación a las semanas anteriores (Gráfico 1). Durante la SE 40 de 2018, los casos acumulados de IRAG positivos para influenza que requirieron UCI (21) fueron similares a la temporada previa, en tanto no se reportó ningún fallecido por IRAG positivo para influenza, en comparación a la temporada anterior (con dos fallecidos por IRAG positivos para influenza). Así mismo, todos los fallecidos por IRAG y 34% de los casos de IRAG que requirieron UCI, reportaron al menos un factor de riesgo.

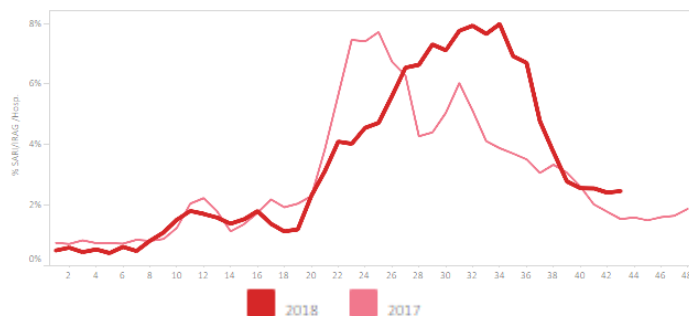
Graph 1. Uruguay: % SARI cases requiring ICU admission, EW 48, 2018;
Porcentaje de casos de IRAG admitidos a UCI , SE 48, 2018



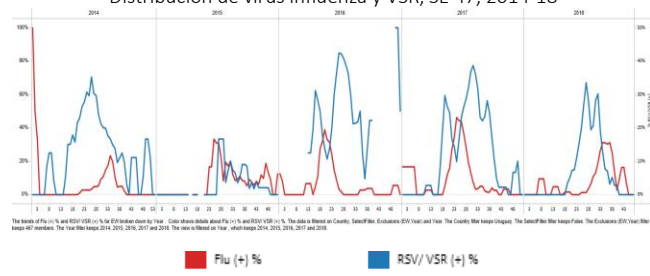
Graph 3. Uruguay: Influenza virus distribution by EW 47, 2018
Distribución de virus de influenza, por SE 47, 2018



Graph 5. Uruguay: Percent of SARI cases per total hospitalizations, EW 43, 2017-2018
Porcentaje de casos IRAG por total hospitalizaciones, SE 43, 2017-2018

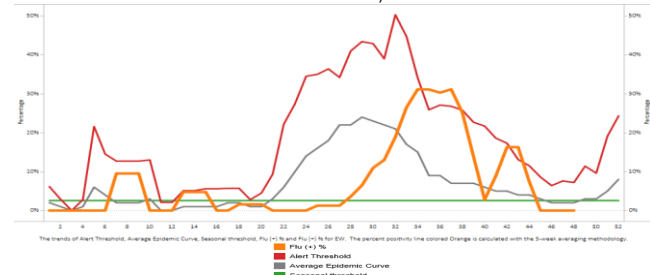


Graph 2. Uruguay: Influenza and RSV distribution, EW 47, 2014-18
Distribución de virus influenza y VSR, SE 47, 2014-18



Graph 4. Uruguay: Percent positivity for influenza, EW 47, 2018 (in comparision to 2010-2017)

Porcentaje de positividad de influenza, SE 47, 2018 (en comparación a 2010-2017)



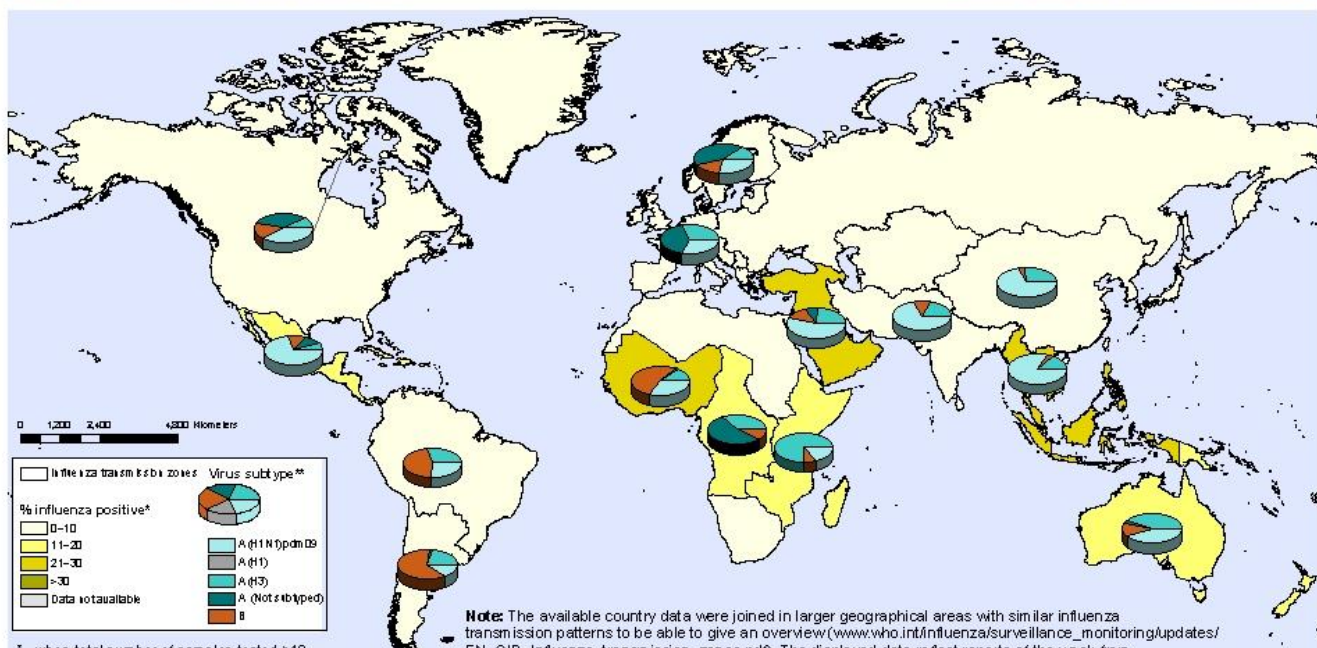
In the temperate zone of the northern hemisphere influenza activity remained at inter-seasonal levels. Increased influenza detections were reported in some countries of Southern and South-East Asia. In the temperate zones of the southern hemisphere, influenza activity returned to nearly inter-seasonal levels. Worldwide, seasonal influenza subtype A viruses accounted for the majority of detections. / En la zona templada del hemisferio norte, la actividad de influenza se mantuvo en niveles interestacionales. En algunos países de Asia meridional y sudoriental se notificó un aumento de las detecciones de influenza. En las zonas templadas del hemisferio sur, la actividad de influenza regresó a niveles casi inter-estacionales. En todo el mundo, los virus de subtipo A de influenza estacional representaron la mayoría de las detecciones.

National Influenza Centres (NICs) and other national influenza laboratories from 114 countries, areas or territories reported data to FluNet for the time period from 29 October to 11 November 2018. The WHO GISRS laboratories tested more than 116728 specimens during that time period. 5534 were positive for influenza viruses, of which 4894 (88.4%) were typed as influenza A and 640 (11.6%) as influenza B. Of the sub-typed influenza A viruses, 2695 (85%) were influenza A(H1N1)pdm09 and 475 (15%) were influenza A(H3N2). Of the characterized B viruses, 53 (43.1%) belonged to the B-Yamagata lineage and 70 (56.9%) to the B-Victoria lineage. / Los Centros Nacionales de Influenza (NICs) y otros laboratorios nacionales de influenza de 114 países, áreas o territorios, reportaron datos a FluNet en el período del 29 de octubre al 11 de noviembre de 2018. Los laboratorios de la OMS GISRS realizaron pruebas a más de 116728 muestras durante ese período. 5534 tuvieron resultado positivo para virus influenza, de los cuales 4894 (88,4%) fueron tipificados como influenza A y 640 (11,6%) como influenza B. De los virus influenza A subtipificados, 2695 (85%) fueron influenza A(H1N1)pdm09 y 475 (15%) fueron influenza A(H3N2). De los virus influenza B caracterizados, 53 (43,1%) fueron del linaje B-Yamagata y 70 (56,9%) fueron del linaje B-Victoria.

Percentage of respiratory specimens that tested positive for influenza

By influenza transmission zone

Status as of 09 November 2018



The boundaries and names shown and the designations used on this map do not imply the expression of any opinion whatsoever on the part of the World Health Organization concerning the legal status of any country, territory, city or area or its authorities, or concerning the delimitation of its frontiers or boundaries. Dotted and dashed lines on maps represent approximate border lines for which there may not yet be full agreement.

Data Source:
 Global Influenza Surveillance and Response System (GISRS),
 FluNet (www.who.int/FluNet)

 **World Health Organization**
 ©WHO 2018. All rights reserved.

ACRONYMS

ARI	Acute Respiratory Infection
CARPHA	Caribbean Public Health Agency
CENETROP	Centro de Enfermedades Tropicales (Santa Cruz, Bolivia)
EW	Epidemiological Week
ILI	Influenza-like illness
INLASA	Instituto Nacional de Laboratorios de Salud (La Paz, Bolivia)
INS	Instituto Nacional de Salud
ORV	Other respiratory viruses
SARI	Severe acute respiratory infection
SEDES	Servicio Departamental de Salud (Bolivia)
ICU	Intensive Care Unit
RSV	Respiratory Syncytial Virus

ACRÓNIMOS

CARPHA	Agencia de Salud Pública del Caribe/Caribbean Public Health Agency
CENETROP	Centro de Enfermedades Tropicales (Santa Cruz, Bolivia)
ETI	Enfermedad Tipo influenza
INLASA	Instituto Nacional de Laboratorios de Salud (La Paz, Bolivia)
INS	Instituto Nacional de Salud
IRA	Infección Respiratoria Aguda
IRAG	Infección Respiratoria Aguda grave
OVR	Otros virus respiratorios
SE	Semana epidemiológica
SEDES	Servicio Departamental de Salud (Bolivia)
UCI	Unidad de Cuidados Intensivos
VSR	Virus Sincitial Respiratorio